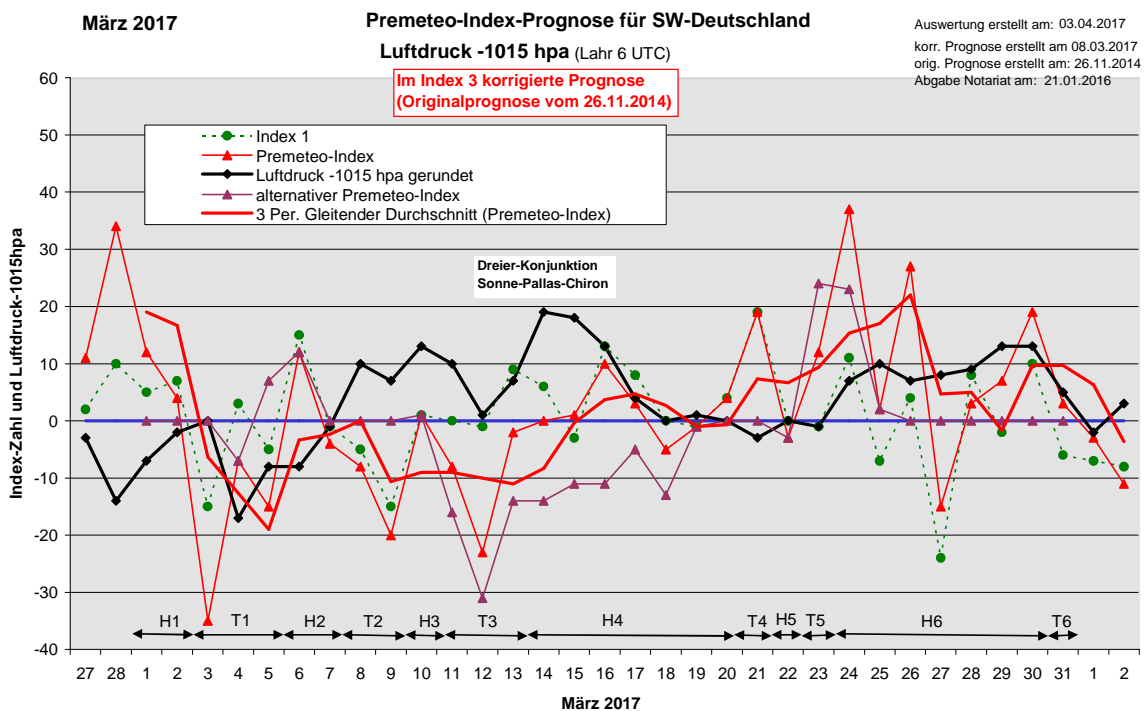
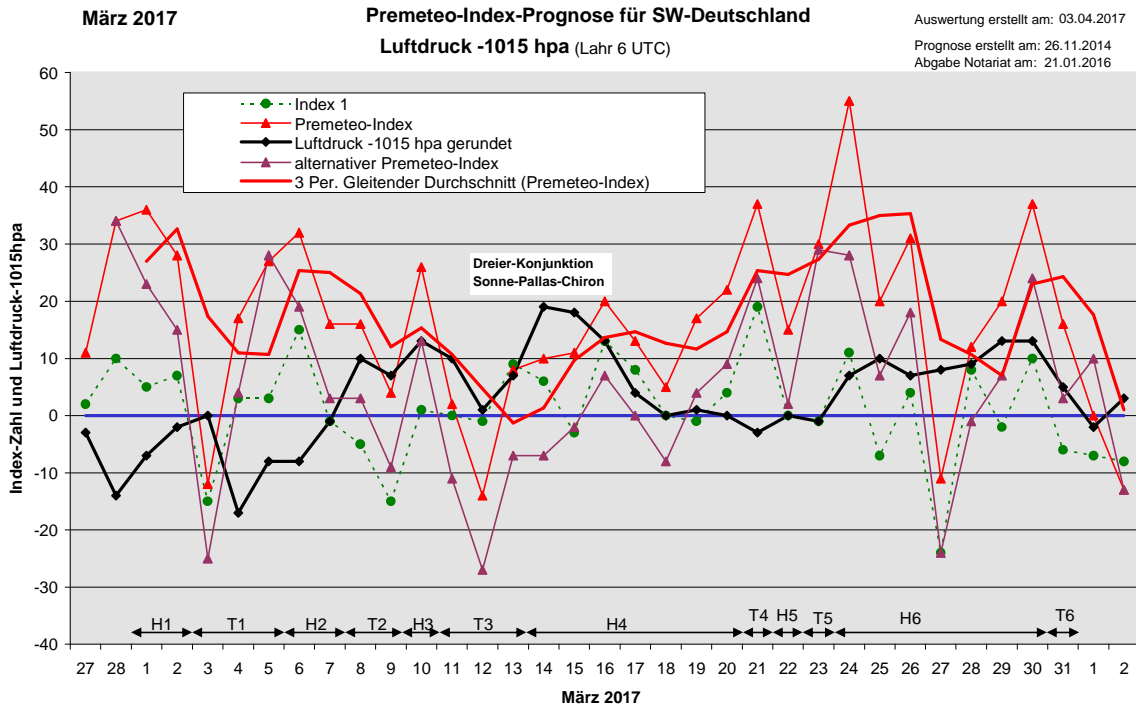


Wetterlagenverlauf März 2017 im Vergleich zur Premeteo-Indexprognose für Südwest-Deutschland

(Im Diagramm sind über der Datumsachse die real eingetreten Hoch- und Tiefdruckphasen durch Doppelpfeile eingetragen. Ausschlaggebend für die Evaluation ist der tägliche Premeteo-Index, in der dünneren, roten Linie mit Dreieckspunkten dargestellt. Ein negativer Premeteo-Index zeigt die Wahrscheinlichkeit für eine zyklonale Tiefdruckströmung, ein positiver Premeteo-Index die Wahrscheinlichkeit für eine antizyklonale Hochdruckströmung an.

Die Wetterlagenbeschreibungen wurden anhand der Berliner Wetterkarten erstellt. Ausschlaggebend ist die Europa-Bodenkarte um 0 UTC, die feiner skalierte 12 UTC-Karte von Mitteleuropa wird nur bei einem Wetterlagenwechsel für die Einordnung des Tages hinzugezogen. Am Ende des Dokuments befinden sich die Tabellen und Konstellationen, die dem Diagramm zugrunde liegen.)



Zusammenfassung: Für den März 2017 wurde die Auswertung anhand der originalen Prognose vom 26. 11. 2014 erstellt und parallel dazu noch eine zusätzliche Auswertung, bei der die Originalprognose im Index 3 korrigiert wurde. Durch die Korrektur kamen nur die ausgelösten, fast-exakten Aspekte der Konjunktionsplaneten in Anrechnung, wenn diese mit einem Planeten gebildet wurden, der einen höheren Rang als der betroffene Konjunktionsplanet hatte. Von jedem Konjunktionsplaneten wurde auch nur ein Aspekt mit dem jeweils ranghöchsten Partnerplanet zur Anrechnung zugelassen. Wie schon beim Januar und Februar rückten dadurch der Premeteo-Index und die Luftdruckkurve etwas näher zusammen.

Es ist besonders die Tiefdruckphase 1, die im korrigierten Premeteo-Index die größere Nähe zum realen Wetterlagenverlauf im Diagramm zeigt. Dagegen fallen in der Phase vom 8. bis 15. März der relativ hohe Luftdruck und der dadurch deutlich vergrößerte Abstand zur korrigierten Premeteo-Index-Kurve auf. Dennoch zeigt sich in beiden Diagrammen in diesem Zeitraum sehr schön die Übereinstimmung des Indexminimums mit dem Luftdruckminimum am 12. März.

Bezüglich des Premeteo-Index-Vorzeichens war die Wetterlage beim Originalindex an 21, beim korrigierten Index an 23 Tagen richtig prognostiziert. Während bezogen auf die Bodenatmosphäre 11 zyklonale Tage bestimmt werden konnten, gab es auf 500 hpa nur 6 Tage mit einer eindeutig zyklonalen Strömung. Dies zeigt, dass die Aspekte, die im Index 3 für die Bodenatmosphäre herauskorrigiert wurden für die obere Etage der Atmosphäre doch eine Rolle gespielt haben könnten. Dafür spricht auch, dass die Wettersymbole bei der Originalprognose zu deutlich mehr richtig prognostizierten Tagen führten als bei der korrigierten Prognose. Dort nahmen die nur tendenziell richtig prognostizierten Tage stark zu.

Der März 2017 war ein ungewöhnlicher Monat. Die Berliner Wetterkarte vermerkte dazu am 02.04.2017: „Deutschlandweit gehörte der März 2017 mit einer Monatsmitteltemperatur von 7,2°C gebietsweise zu den wärmsten ersten Frühlingsmonaten seit Beginn der regelmäßigen Aufzeichnungen im Jahre 1881. Damit gab es eine positive Abweichung von 3,7K, verglichen mit der CLINO-Periode 1961-90, selbst gegenüber der Vergleichsperiode 1981 bis 2010 betrug der Wärmeüberschuss 2,9K.“

Konstellatorisch zeichnete sich dieser Monat durch die andauernde Aktivierung der drei Konjunktionen Saturn 0° Galaktisches Zentrum, Makemake 0° Supergalaktisches Zentrum und Uranus 0° Eris aus. Zur Zufuhr besonders warmer Luftmassen kam es am 5., als die Konjunktion Saturn 0° Galaktisches Zentrum exakt wurde, am 9. mit dem Exaktwerden von Mondapogäum 90° Mondknoten, am 17., 18. und 19. mit Uranus 0° Eris, Merkur 0° Venus und Ceres 72° aufst. Mondknoten. Der wärmste Tag war der 31. mit einer Tagesmitteltemperatur in Lahr von 15,3°C. Am Vortag war gegen 13 UTC der seltene Aspekt Neptun 72° Quaoar exakt geworden, dessen Wetterwirksamkeit schon seit Juli 2014 gut beobachtet werden konnte.

Zu besonders starken Abkühlungen in der Nacht kam es vom 11. bis 13. mit Merkur 0° Chiron und 90° Saturn-GaZ, sowie Venus 30° Ceres.

Beschreibung der einzelnen Wetterphasen:

Hochdruckphase 1: Der Beginn des März vollzog sich noch unter dem starken Vorstoß des Tiefs Udo über Westskandinavien mit Mars 0° Eris/Uranus, doch setzte sich über dem Südwesten Deutschlands schon wieder flach der Isobarenbereich des Azorenhochs durch. Tief Wilfried folgte von Nordwesten nach und lag am 2. um 0 UTC mit seinem Kern über Irland, doch wieder dehnte sich am Boden bis 12 UTC das Azorenhoch bis über unsere Region flach aus. Der Premeteo-Index summierte über die 2-tägige, flache Hochdruckwetterlage auf +64. (Ein hoher positiver Anteil des Premeteo-Index stammte aus dem Index 3 und dies gibt einen Hinweis darauf, dass ein ähnliches Phänomen wie beim Januar 2017 vorliegt, dass fast-exakte Aspekte der Konjunktionsplaneten nur ausgelöst werden, wenn diese mit

einem höher-rangigen Planeten gebildet werden. Daher wurde auch ein korrigiertes Auswertungs-Diagramm erstellt, das dieses Phänomen über den ganzen Monat hin berücksichtigt.) Der im Index 3 korrigierte Premeteo-Index summierte auf +16.

Tiefdruckphase 1: Am 3. wanderte Hoch Hertha nach Osten ab. Tief Xaver zog über Irland heran und dehnte sich am 4. und 5. über ganz Deutschland aus. Der originale Premeteo-Index erweist sich auch hier aufgrund des Index 3 als zu hoch, aber am 5. lag noch zusätzlich ein handwerklicher Fehler vor. Merkur 0° Neptun H löste Neptun 72° Quaoar T* aus, deshalb durften die Merkur-H-Aspekte in Index 1 und 2 nicht angerechnet werden, das war übersehen worden und wurde im korrigierten Auswertungsdiagramm auch berücksichtigt. Der Premeteo-Index summierte über die 3-tägige Tiefdruckphase auf +32 / korrigiert -57.

Hochdruckphase 2: Am 6. bildete sich ein ganz flacher, antizyklonaler Keil von Südfrankreich und der Schweiz herkommend aus und am 7. verstärkte sich die Antizyklonalität der Atmosphäre durch Hoch Johanna mit einem Kern westlich der Iberischen Halbinsel. Der Premeteo-Index summierte über die 2-tägige Hochdruckphase auf +48 / korrigiert +8.

Tiefdruckphase 2: Am 8. um 0 UTC lag unsere Region noch im Isobarenbereich von Hoch Johanna, aber um 12 UTC bereits im Troggebiet von Tief Adriano über dem südlichen Nordmeer, in dem es auch am 9. verharrte. Dieses Tief brachte anhaltende und ausgiebige Niederschläge. Der Premeteo-Index summierte über die 2-tägige Tiefdruckphase auf +20 / korr. -28.

Hochdruckphase 3: In der Nacht vom 9. zum 10. März kühlte die Atmosphäre auffallend stark ab und Hoch Johanna verlagerte seinen Kern von der Iberischen Halbinsel nach Frankreich. Es bewegte sich rasch nach Osten weiter. Der Premeteo-Index hatte einen Wert von +26 / korr. +1.

Tiefdruckphase 3: In der Nacht zum 11. sanken die Temperaturen bis an die Frostgrenze und Hoch Johanna befand sich um 0 UTC mit seinem Kern bereits über Süddeutschland. Um 12 UTC lag unsere Region in der Bodenatmosphäre jedoch schon flach in dem Trogbereich eines Tiefs südlich Islands, während sich auf 500 hpa ein Keil ausbildete und sich zum 12. verstärkte. Am Boden lag Südwestdeutschland um 0 UTC am westlichen Rand eines flachen Trogs zwischen dem Azorenhoch und Hoch Johanna, das nun mit seinem Kern über der Ostsee lag. Über Frankreich gab es eine kleine Tiefdruckzelle. Um 12 UTC lag die Region genau im Übergangsbereich zwischen der zyklonalen und antizyklonalen Strömung. Auch am 13. verblieb unsere Region noch im flachen Trog zwischen dem Azorenhoch, das nun den Namen Kathrin erhalten hatte, und dem Hoch Johanna über der Ostsee. Der Premeteo-Index summierte über die 3-tägige Tiefdruckphase auf -4 / korr. -57.

Hochdruckphase 4: Azorenhoch Kathrin dehnte sich am 14. über das westliche und südliche Deutschland aus und bewegte sich am 15. und 16. über die Biskaya nach Westdeutschland. Diese drei Tage sind gekennzeichnet von der Dreier-Konjunktion Sonne-Pallas-Chiron, wobei der ausgelöste fast-exakte H*-Aspekt von Pallas zu Sedna einen stärkeren Lokalbezug zu unserer Region zu haben scheint, als der T*-Aspekt von Chiron zu Sedna. Chiron hat im Prognosesystem einen höheren Rang als Pallas, da seine Umlaufbahn einen größeren Raum umschließt als die Umlaufbahn von Pallas. Aber Chiron ist ein sogenannter Bahnkreuzer, da seine Umlaufbahn die Bahnen von Saturn und Uranus kreuzt und somit ein Sonderfall, der schon damit auffällig wurde, dass er sich weniger als die anderen Körper in die allgemeinen Prognoseregeln einfügt. Am 17. hatte der Kern von Hoch Kathrin um 0 UTC die Ostalpen erreicht und bewegte sich weiter in Richtung Türkei. Am 18. zeigte der Premeteo-Index eine Spitze nach unten und erreichte im korrigierten Index auch einen schwach negativen Wert. Es kam zu einem Wechsel unserer Region in den Isobarenbereich des Azorenhochs, wobei die Wolkenfelder und Regengebiete von Tief Eckhard über der Nordsee bei flach antizyklonaler Isobarenanordnung auch unsere Region überquerten. Auch am 19. blieb die Region unter einer überwiegend geschlossenen, grauen Wolkendecke im flachen Grenzbereich der zum Azorenhoch gekrümmten Isobaren. Am 20. kam es lokal bei leicht fallendem Luftdruck zu Auflockerungen der Wolkendecke. Der Premeteo-Index summierte über die 7-tägige Hochdruckphase auf +98 / korrigiert +12.

Tiefdruckphase 4: Am 21. dehnte sich der Trog von Tief Falk-Dieter über dem Nordmeer über ganz Deutschland aus. Dies geschah in einer Gegenbewegung zum Premeteo-Index, der selbst im korrigierten Index mit +19 eine kräftige Spitze nach oben zeigte. Dieser Wert stammte allein aus dem Index 1. Es traten gegensätzliche Impulse auf wie Sonne 90° Quaoar H und Sonne 72° Pluto T, auch Merkur 144° Orcus T und Merkur 30° Ceres Hf. Vesta 72° Makemake H* wurde nicht berechnet, weil Vesta 72° GSZ H* noch im 1°-Toleranzbereich war. Auf 500 hpa hatte sich im Gegensatz zur Bodenströmung entsprechend dem Index eine flache antizyklonale Strömung eingestellt. Der Premeteo-Index hatte einen Wert von +37 / korrigiert +19.

Hochdruckphase 5: Am 22. dehnte sich ein schmaler Hochdruckkeil über Deutschland aus. Es regnete noch in der Nacht und am Vormittag ein wenig. Der Premeteo-Index hatte einen Wert von +15 / korrigiert -3.

Tiefdruckphase 5: Mit einem Tag Verspätung gegenüber dem korrigierten Premeteo-Index des Vortags dehnte sich der Isobarenbereich von Tief Gregor über der Biskaya in der Nacht zum 23. noch einmal flach über unsere Region aus und es wurde die folgenden Tage als okkludiertes Tief über der Biskaya und dem Westen der Iberischen Halbinsel stationär. Der Premeteo-Index hatte einen Wert von +30 / korrigiert von +12. Die Symbolprognose war zutreffend.

Hochdruckphase 6: Allmählich setzte sich ab dem 24. über Südwestdeutschland die antizyklonale Strömung von Hoch Ludwiga durch, das bis zum 26. mit seinem Kern über Großbritannien lag. Am 27. hatte Ludwiga einen Kern über der Nordsee und einen über Österreich. Der Premeteo-Index hatte sowohl im originalen, wie auch im korrigierten Premeteo-Index einen einzelnen, negativen Tag. Der geglättete Index blieb in beiden Fällen über der Nulllinie. Bei Merkur wurden zwei Aspekte mit entgegen gesetzten Impulsen exakt: Merkur 180° Haumea H und Merkur 30° Sedna T. Der ranghöchste exakte Aspekt des Tages ist Jupiter 45° Apogäum H*. Die beiden starken Tf-Aspekte Mars 60° Neptun und Mars 135° Saturn machten sich nicht bemerkbar. Auch am 28. war Hoch Ludwiga mit Kern über dem Balkan tonangebend. Über der Iberischen Halbinsel lag nun Hoch Marrit, das am 29. mit seinem Kern um 12 UTC über Frankreich lag. Am 30. befand sich sein Kern über Südostdeutschland als der Premeteo-Index im positiven Bereich einen letzten Spitzenwert erreichte. Am Nachmittag, mit dem Exaktwerden von Neptun 72° Quaoar T?* gegen 13 UTC setzte der Druckfall ein. Der Premeteo-Index summierte über die 7-tägige Hochdruckphase auf + 164 / korrigiert +80.

Tiefdruckphase 6: Am letzten Tag des Monats kam unsere Region in den flachen Randbereich des Tiefs Johnny. Der Premeteo-Index hatte einen Wert von +16 / korrigiert +3.

SW-D befand sich an 20 Tagen im Einflussbereich antizyklonaler Strömung. Die Summe des prognostizierten Premeteo-Index für diese Tage ergab +415 / korr. +114. Dies entsprach einer Indexzahl von +20,74 / korr. +5,70 pro Tag.

An 11 Tagen befand sich SW-D im Einflussbereich zyklonaler Strömung. Die Summe des prognostizierten Premeteo-Index für diese Tage ergab +131 / korr. -84. Dies entsprach einer Indexzahl von +11,91 / -7,64 pro Tag.

Die Prognose durch die Premeteo-Wettersymbole war an 10 / korr. 7 Tagen falsch (am 1., 5. bis 8., 19. bis 22., 24. korr. am 1., 11. bis 13., 21., 22., 24.), an 14 / korr. 9 Tagen richtig und an 7 / korr. 15 Tagen tendenziell richtig.

03.04.2017

März 2017



Prognose für SW-Deutschland

01.03.2017

Ab diesem Monat wird nach den Erfahrungen des Sommers 2014 Neptun 72° Quaoar als T*(0;2) mit -10 Punkten angerechnet. Den ganzen Monat sind die beiden hochrangigen Konjunktionen Uranus 0° Eris A?*(2/1) und Makenake 0° GSZ (Superg. Zentrum) aktiviert. Dadurch wird im Index 3 den ganzen Monat Orcus 135° Eris ?* ausgelöst, ab dem 28. auch Haumea 180° Eris ?* - Am 4. wird die Konjunktion von Saturn mit dem Galaktischen Zentrum exakt! Nur drei Tage, an denen ein negativer Index erreicht wird - Im alternativen Index 3 wurde die Dauerauslösung KN1 30 GSZ H13 herausgenommen, weil er mit dieser hohen Punktzahl, die sich aus der Rangordnung des GSZ ergibt, über so einen langen Wirkzeitraum zu hoch sein könnte.

| Langsamläufer-Impulse | 2H* | H*, T* | H* | H* | H* | T* | T* | T* | H | |
|--|---|---|---|---|---|--|--|--|--|---------|
| Schnellläufer-Impulse | T | 2H, T | 2T, Tf, H | H | 2T, 2Hf | 2T | H, T | 2T | H | |
| Temperaturimpulse | W | K | W | K | W | W? | | | | |
| Premeteo-Index - zyklonal, + antizyklonal (Index 1+2+3) | 36 | 28 | -12 | 17 | 27 | 32 | 16 | 16 | 4 | 26 |
| Pre.JX (ALTERNATIV) | 23 | 15 | -25 | 4 | 28 | 19 | 3 | 3 | -9 | 13 |
| Index 1 (12 - 12 UTC) exakte Aspekte des Tages | 5 | 7 | -15 | 3 | 3 | 15 | -1 | -5 | -15 | 1 |
| Index 1 (ALTERNATIV) | | | | | 17 | | | | | |
| Symmetrien (0 - 0 UTC) | Eri 1 Mer Ura (00) A?*(2/1) Ausl. Index 3 Orc 20p Son Mer (02) H A +? Son 74 Sed Gaz (11) ?* -- | Mer 60 Jun Cer (08) A A H? +? Mar 31 Chi Sed (12) A T ? -- Cer 120 Jun Orc (19) H* A* T* -- | Ves 72 GSZ Cer (00) H* A* A* +? Orc 120 Jun Cer (01) T* A* H* -? Son 72 Qua Sed (07) T A H?*(6,5/2) -? Jun 120 Orc Cer (13) T* H* A* -?? Nep 2 Son Mer (16) H W H W Auslösung Index 3 | Mer 74 Sed Gaz (02) ?* -- Hau 20p Mar En (12) A ? ? | Mer 72 Qua Sed (01) A A H?*(6,5/2) -- Hau 20p Mar Ura (04) A H?*(6,1/5) -- Mer 2 Son Nep (07) H H W +14 | Son 5 Nep Pal (08) H W A -- | Jun 75 Chi Hau (01) T*(5/10,5) -- Son 6 Nep Chi (13) H W A K? -- | Mer 2 Son Pal (03) H A Auslösung Index 3 Pal 2 Chi Mer (07) A W* A -- Mer 2 Son Chi (18) H A -- | Hau 149 Sed Mer (13) ?* A A ? Ven 90p Jup Mak (15) H A A +?? Mer 1 Chi Pal (18) A A -- Mak 90p Ven Mer (19) A H +?? | |
| Index 2 (12 -12 UTC) | 7 | 7 | -7 | 0 | 14 | 0 | 0 | 0 | 0 | 0 |
| Index 2 ALTERNATIV | | | | | | | | | | |
| ausgelöste Aspekte (= durch Konjunktionen aktivierte Aspekte) | Ausl. durch Index 2: Jup 180 Ura H* +6 Ves 72 GSZ H5 Kn1 30 GSZ H13 (Kn2 150 GSZ H13) Nep 72 Qua T*(0/2) -10 Orc 135 Eri ?* Jup 180 Ura H* +6 | Ves 72 GSZ H5 Kn1 30 GSZ H13 (Kn2 150 GSZ H13) Nep 72 Qua T*(0/2) -10 Orc 135 Eri ?* Jup 180 Ura H* +6 | Ausl. durch Index 2: Son 72 Qua T -3 Mer 72 GaZ T-1 Ves 72 GSZ H5 Kn1 30 GSZ H13 (Kn2 150 GSZ H13) Nep 72 Qua T*(0/2) -10 Orc 135 Eri ?* Jup 180 Ura H* +6 | Ves 72 GSZ H5 Kn1 30 GSZ H13 (Kn2 150 GSZ H13) Nep 72 Qua T*(0/2) -10 Orc 135 Eri ?* Jup 180 Ura H* +6 | Mar 120 GaZ T-4 Ves 72 GSZ H5 Kn1 30 GSZ H13 (Kn2 150 GSZ H13) Nep 72 Qua T*(0/2) -10 Orc 135 Eri ?* Jup 180 Ura H* +6 | Son 144 Jup T-3 Mar 120 GaZ T-4 Ves 72 GSZ H5 Kn1 30 GSZ H13 (Kn2 150 GSZ H13) Orc 135 Eri ?* Jup 180 Ura H* +6 | Son 144 Jup T-3 Mar 120 GaZ T-4 Ves 72 GSZ H5 Kn1 30 GSZ H13 (Kn2 150 GSZ H13) Orc 135 Eri ?* Jup 180 Ura H* +6 | Son 144 Jup T-3 Mar 120 GaZ T-4 Ves 72 GSZ H5 Kn1 30 GSZ H13 (Kn2 150 GSZ H13) Orc 135 Eri ?* Jup 180 Ura H* +6 | Ausl. durch Index 2: Mer 60 Phu T-1 Son 144 Sed T-4 Mer 30 Eri H1 Ves 72 GSZ H5 Kn1 30 GSZ H13 (Kn2 150 GSZ H13) Jup 180 Ura H* +6 | |
| Index 3 (Summe) | 24 | 14 | 10 | 14 | 10 | 17 | 17 | 21 | 19 | 25 |
| Index 3 ALTERNATIV | 11 | 1 | -3 | 1 | -3 | 4 | 4 | 8 | 6 | 12 |
| Symbol-Prognose | 2 | 2 | 3 | 2 | 2 | 2 | 2 | 3 | 3 | 2 |
| Symbol-Prognose altern. | 2 | 2 | 3 | 3 | 2 | 2 | 3 | 3 | 3 | 2 |
| Wochentag | Mi | Do | Fr | Sa | So | Mo | Di | Mi | Do | Fr |
| Datum | 1 | 2 | 3 | 4 | 5 | 6 | 7 | 8 | 9 | 10 |
| reale Wetterlage | H1: 2H*, 2H - 2T / +64 | T1: T*, Tt, 4T - 2H*, 2Hf, 2H / +32 | H2: H*, H - 3T / +48 | T2: T*, 4T / +20 | H3: H / +26 | | | | | |
| Luftdruck (hpa) 06 UTC | 1007,6 | 1013 | 1015 | 998,3 | 1006,9 | 1007 | 1014,4 | 1024,5 | 1021,5 | 1028,2 |
| mittl. Temp.(°C) | 7,1 | 8,6 | 6,2 | 5,9 | 7,6 | 6,8 | 6,1 | 6,1 | 10,6 | 7,8 |
| Sonnenscheindauer (h) | 0 | 8,9 | 2,4 | 1,9 | 3,3 | 1,3 | 0,3 | 2 | 0 | 10,4 |
| Niederschlag (Liter) | 4,5 / 1 | 0 | 0 | 1,5 | 1,8 / 4 | 1,8 / 1 | 4,5 / 4,5 | 4 / 6 | 13,9 / 18 | 0 / 1,5 |
| Bodenwetterlage 00 UTC (Kernlage des Druckgebiets, das SW-D beeinflusst) | fl Azor-H-Keil | T ü Ir u.S-Nm | H ü Alpen | T ü Ir, T ü O-Pyrenäen | T ü GB | fl H-Keil von F u CH | H w Iber | H mit Kernen w Iber u Ü CH | T ü S-Nim, H ü Iber | H ü F |
| Bodenströmung 12 UTC zyklonal (z), antizyklonal (a) | fl a | fl a | fl z | z | z | fl a | fl a | fl z | fl z | a |
| Strömung auf 500 hpa 00 UTC | NW z | W a-z | W a-z | SW a | SW z | NW z | NW fl z | NW a | NW fl a | NW a-z |
| zutreffende Wetersymbole | 5 f | 2-3 r | 3-5 r | 3 hr | 3-5 f | 5 f | 5 f | 5 f | 5 hr | 2 r |

| Übertrag | 14:32 | 00:22 | 00:00 | 11:11 | 04:18 | 03:27 | 00:03 | 05:26 | 08:34 | 01:55 |
|-------------|---------------|---------------|---------------|---------------|---------------|---------------|---------------|---------------|---------------|---------------|
| Index 1: +5 | MAR 30 CHI | MER 135 JUP | SON 72 QUA | MER 0 NEP | MER 30 VEN | CHI 45 CER | JUP 150 PAL | MER 60 PLU | SON 60 PLU | MER 30 URA |
| Index 2: 0 | WID 23°53'36" | FIS 07°15'58" | FIS 12°35'45" | FIS 11°47'48" | FIS 13°08'02" | FIS 24°09'49" | WAA 21°52'25" | FIS 18°56'13" | FIS 18°57'37" | FIS 22°31'49" |
| | FIS 23°53'36" | WAA 22°15'58" | STE 00°35'45" | FIS 11°47'50" | FIS 13°08'02" | STI 09°09'49" | FIS 21°52'25" | STE 18°56'14" | STE 18°57'37" | WID 22°31'51" |
| | A | A | T-3 | H W +2 | T K -- | HF +11 | A* | T-1 | T-3 | A W? |
| | 22:41 | 01:59 | 01:24 | 15:01 | 04:32 | 08:14 | 00:30 | 16:44 | 14:58 | 05:40 |
| | MER 45 URA | CER 120 JUN | JUP 180 URA | MAR 144 APO | MER 72 SED | CER 144 F99 | SON 0 MER | URA 30 PAL | MER 150 JUP | MER 30 ERI |
| | FIS 07°08'17" | STI 07°46'18" | WAA 22°11'22" | WID 28°05'23" | FIS 13°09'08" | STI 09°12'14" | FIS 16°37'27" | WID 22°27'43" | FIS 21°38'31" | FIS 22°50'06" |
| | WID 22°08'15" | STE 07°46'18" | WID 22°11'22" | SCH 02°05'23" | STI 25°09'07" | WAA 03°12'14" | FIS 16°37'28" | FIS 22°27'43" | WAA 21°38'32" | WID 22°50'04" |
| | T -1 | H* -- | H*(13/5/1) +6 | A | A | H -- | A* | A* | T-1 | H +1 |
| | 02:46 | 03:35 | 21:41 | 09:46 | 07:52 | 22:05 | 17:34 | 15:04 | 08:05 | |
| | SON 0 NEP | JUN 120 ORC | MER 72 QUA | MER 135 VAR | SON 144 JUP | MER 144 EL6 | SON 144 EL6 | SON 144 EL6 | AP0 90 KN1 | MER 0 PAL |
| | FIS 11°42'29" | STE 08°03'12" | FIS 12°36'57" | FIS 13°33'46" | FIS 15°55'50" | FIS 18°20'51" | FIS 18°20'08" | FIS 18°20'08" | SCH 02°38'50" | FIS 23°01'54" |
| | FIS 11°42'28" | JUN 08°03'12" | STE 00°36'59" | KRE 28°33'43" | WAA 21°55'50" | WAA 24°20'53" | WAA 24°20'09" | WAA 24°20'09" | JUN 02°38'49" | FIS 23°01'56" |
| | H W +3 | T-5 | A | Hf +7 | T W -3 | A | T-3 | T-3 | A | A |
| | 05:28 | 04:26 | 15:54 | 12:56 | 23:46 | 20:14 | 15:53 | 13:20 | | |
| | PAL 120 VES | MER 135 EL6 | MAR 45 NEP | GSZ 60 APO | MAR 90 VAR | MER 120 VES | MER 72 JUN | SON 120 VES | | |
| | FIS 20°13'23" | FIS 09°24'56" | WID 26°50'33" | WAA 02°18'11" | WID 28°31'46" | FIS 20°07'40" | FIS 21°42'58" | FIS 20°09'28" | | |
| | KRE 20°13'22" | WAA 24°24'57" | FIS 11°50'33" | SCH 02°18'11" | KRE 28°31'47" | KRE 20°07'41" | STE 09°42'59" | KRE 20°09'27" | | |
| | H* +5 | A | Hf 0 / +10 | A* | T-4 | A | A | A | | |
| | 06:54 | 07:07 | 14:17 | 15:26 | 23:01 | 18:09 | 22:56 | | | |
| | MER 45 ERI | CER 72 VES | STI 08°11'04" | KRE 20°11'05" | A | CHI 150 EL6 | PAL 30 ERI | MAR 120 QUA | | |
| | FIS 07°45'52" | STI 08°11'04" | KRE 20°11'05" | A | MER 144 JUP | FIS 24°19'57" | FIS 22°49'48" | STI 00°40'21" | | |
| | WID 22°45'51" | A | A | A | FIS 15°54'15" | WAA 21°54'15" | WID 22°49'48" | STE 00°40'21" | | |
| | A | A | A | A | T-1 | A | A | A | | |
| | 07:51 | 07:43 | 20:28 | 20:28 | | | | 23:40 | | |
| | MER 60 JUN | MAR 30 SED | MAR 120 GaZ | MAR 120 GaZ | | | | MER 150 EL6 | | |
| | FIS 07°50'13" | WID 25°08'31" | FIS 26°58'50" | SCH 26°58'50" | | | | FIS 24°18'06" | | |
| | STE 07°50'11" | STI 25°08'32" | Hf -4/0 | | | | | WAA 24°18'04" | | |
| | A | Tf -10 | | | | | | A | | |
| | 08:08 | 12:50 | 20:47 | | | | | | | |
| | MER 60 CER | SON 30 VEN | MAR 120 SAT | | | | | | | |
| | FIS 07°51'31" | FIS 13°07'55" | WID 26°59'24" | | | | | | | |
| | STI 07°51'31" | WID 13°07'56" | SCH 26°59'24" | | | | | | | |
| | A | T K -2 | A | | | | | | | |
| | 08:08 | 13:06 | | | | | | | | |
| | MAR 180 EL6 | SON 72 SED | | | | | | | | |
| | WID 24°25'38" | FIS 13°08'35" | | | | | | | | |
| | WAA 24°25'39" | STI 25°08'36" | | | | | | | | |
| | A | A | | | | | | | | |
| | 10:52 | 15:26 | | | | | | | | |
| | MER 180 ORC | CER 144 GSZ | | | | | | | | |
| | FIS 08°04'03" | STI 08°18'10" | | | | | | | | |
| | JUN 08°04'01" | WAA 02°18'10" | | | | | | | | |
| | A | A | | | | | | | | |
| | 20:51 | 17:48 | | | | | | | | |
| | MER 72 SAT | MAR 45 MAR | | | | | | | | |
| | FIS 08°49'57" | FIS 10°26'50" | | | | | | | | |
| | SCH 26°49'56" | WID 25°26'51" | | | | | | | | |
| | H -- | H +1 | | | | | | | | |
| | 22:12 | 23:34 | | | | | | | | |
| | CER 120 ORC | SON 135 VAR | | | | | | | | |
| | STI 08°03'28" | FIS 13°34'50" | | | | | | | | |
| | JUN 08°03'28" | KRE 28°34'51" | | | | | | | | |
| | A | A | | | | | | | | |
| | 22:46 | | | | | | | | | |
| | MER 72 GaZ | | | | | | | | | |
| | FIS 08°58'47" | | | | | | | | | |
| | SCH 26°58'48" | | | | | | | | | |
| | T -1 | | | | | | | | | |

März 2017



Prognose für SW-Deutschland

Ab diesem Monat wird nach den Erfahrungen des Sommers 2014 Neptun 72° Quaoar als T*(0)2 mit -10 Punkten angerechnet. Den ganzen Monat sind die beiden hochrangigen Konjunktionen Uranus 0° Eris A7*(2)1 und Makemake 0° GSZ (Superg. Zentrum) aktiviert. Dadurch wird im Index 3 den ganzen Monat Orcus 135° Eris 7° ausgelöst, ab dem 28. auch Haumea 180° Eris 7°. - Am 4. wird die Konjunktion von Saturn mit dem Galaktischen Zentrum exakt! Nur drei Tage, an denen ein negativer Index erreicht wird! - Im alternativen Index 3 wurde die Dauerauslösung KN1 30 GSZ H13 herausgenommen, weil er mit dieser hohen Punktzahl, die sich aus der Rangordnung des GSZ ergibt, über so einen langen Wirkzeitraum zu hoch sein könnte.

| | | | | | | | | | | | |
|--|--|--|--|---|--|---|---|---|---|---|--|
| Langsamläufer-Impulse | | | ?, 2H* | H*, T* | | 2H* | | | H* | | |
| Schnellläufer-Impulse | | T, H | H, 3T | H, T | H, T | | H | | T | 2T, 2H | |
| Temperaturimpulse | | | | W* | K?, W* | | W? | W | | K | |
| Premeteo-Index - zyklonal, + antizyklonal (Index 1+2+3) | 2 | -14 | 8 | 10 | 11 | 20 | 13 | 5 | 17 | 22 | |
| Pre.IX (ALTERNATIV) | -11 | -27 | -7 | -7 | -2 | 7 | 0 | -8 | 4 | 9 | |
| Index 1 (12 - 12 UTC) exakte Aspekte des Tages | 0 | -1 | 9 | 6 | -3 | 13 | 8 | 0 | -1 | 4 | |
| Index 1(ALTERNATIV) | | | 5 | 2 | | | | | | | |
| Symmetrien (0 - 0 UTC) | Jup 9op Ven Mar (03) H A +77 Hau 149 Pal Sed (09) H* ? H +77? Pal 2 Son Mer (17) A A --- | Eri 10p Jup Hau (00) A*(5,5) ? ? Ven 10op Jup GSZ (07) H A +77 Ven 30 Nep Ger (13) A H T* W* -14 | Mak 8op Ven Chi (01) A ? --- GSZ 9op Son Ven (16) T A -77 Hau 149 Son Sed (17) T ? A -7 | Ura 2op Jup Hau (01) H*(13/3/1) H*H*(5/1,5) +7 | Son 0 Chi Pal (03) A K? A --- Mer 180 Mak GSZ (06) H A +7 Mer 8 Ven Pal (06) A W A --- Mer 8 Ven Chi (06) A W A --- Mer 8 Son Ven (07) H A W +77 | Mak Top Son Ven (04) H A +77? | Nep 61 Jun Cer (02) H* T* W* H* ? GSZ 8op Ven Chi (05) A T*(1/5) --- GSZ 5op Son Mer (15) T A -77? | Mak 5op Son Mer (02) H* H +77? Ven 14 Ura Chi (19) H*(8/3) --- GSZ 7op Chi Mer (20) T*(1/5) A --- Mak Top Pal Mer (22) A* H +77? | | Mak 8op Chi Mer (12) H*(4/2) H --- Mer 9op Jup Mak (22) A H +77? | |
| Index 2 (12 - 12 UTC) | 0 | -14 | 0 | 0 | 7 | 0 | 0 | 0 | 0 | 0 | |
| Index 2 ALTERNATIV | | | | | | | | | | | |
| ausgelöste Aspekte (= durch Konjunktionen aktivierte Aspekte) | Ves 72 GSZ H5 Kn1 30 GSZ H13 Kn2 150 GSZ H13 Chi 60 Sed T*(1/9) -8 Chi 150 Hau T*(5/10,5) -8 Orc 135 Eri ? | Mer 90 GaZ T-1 Ves 72 GSZ H5 Kn1 30 GSZ H13 Kn2 150 GSZ H13 Chi 60 Sed T*(1/9) -8 Chi 150 Hau T*(5/10,5) -8 Orc 135 Eri ? | Ves 72 GSZ H5 Kn1 30 GSZ H13 Kn2 150 GSZ H13 Chi 60 Sed T*(1/9) -8 Chi 150 Hau T*(5/10,5) -8 Orc 135 Eri ? Son 30 Ura T-3 | Pal 60 Sed H5 Ves 72 GSZ H5 Kn1 30 GSZ H13 Kn2 150 GSZ H13 Chi 60 Sed T*(1/9) -8 Chi 150 Hau T*(5/10,5) -8 Orc 135 Eri ? Son 30 Ura T-3 | Pal 60 Sed H5 Ves 72 GSZ H5 Kn1 30 GSZ H13 Kn2 150 GSZ H13 Chi 60 Sed T*(1/9) -8 Chi 150 Hau T*(5/10,5) -8 Orc 135 Eri ? | Pal 60 Sed H5 Ves 72 GSZ H5 Kn1 30 GSZ H13 Kn2 150 GSZ H13 Chi 60 Sed T*(1/9) -8 Chi 150 Hau T*(5/10,5) -8 Orc 135 Eri ? | Pal 60 Sed H5 Ves 72 GSZ H5 Kn1 30 GSZ H13 Kn2 150 GSZ H13 Chi 60 Sed T*(1/9) -8 Chi 150 Hau T*(5/10,5) -8 Orc 135 Eri ? | Son 90 GaZ H3 Ves 72 GSZ H5 Kn1 30 GSZ H13 Kn2 150 GSZ H13 Chi 60 Sed T*(1/9) -8 Chi 150 Hau T*(5/10,5) -8 Orc 135 Eri ? | Son 90 GaZ H3 Ves 72 GSZ H5 Kn1 30 GSZ H13 Kn2 150 GSZ H13 Chi 60 Sed T*(1/9) -8 Chi 150 Hau T*(5/10,5) -8 Orc 135 Eri ? | Ves 72 GSZ H5 Kn1 30 GSZ H13 Kn2 150 GSZ H13 Orc 135 Eri ? | Ves 72 GSZ H5 Kn1 30 GSZ H13 Orc 135 Eri ? |
| Index 3 (Summe) | 2 | 1 | -1 | 4 | 7 | 7 | 5 | 5 | 18 | 18 | |
| Index 3 ALTERNATIV | -11 | -12 | -12 | -9 | -6 | -6 | -8 | -8 | 5 | 5 | |
| Symbol-Prognose | 3 | 3 | 3 | 2 | 2 | 2 | 3 | 3 | 2 | 2 | |
| Symbol-Prognose altern. | 5 | 3 | 3 | 3 | 3 | 3 | 3 | 3 | 3 | 3 | |
| Wochentag | Sa | So | Mo | Di | Mi | Do | Fr | Sa | So | Mo | |
| Datum | 11 | 12 | 13 | 14 | 15 | 16 | 17 | 18 | 19 | 20 | |
| reale Wetterlage | T3: 2H*, 2H - 4T - ?* / -4 | | | H4: 4H*, 5H - T*, 5T / +98 | | | | | | | |
| Luftdruck (hpa) 06 UTC | 1024,8 | 1016,1 | 1022,3 | 1033,5 | 1032,8 | 1027,8 | 1018,6 | 1014,6 | 1015,6 | 1015,2 | |
| mittl. Temp.(°C) | 6,5 | 7,4 | 6,3 | 7,6 | 8,6 | 9,6 | 11,5 | 9,8 | 12,3 | 12,6 | |
| Sonnenscheindauer (h) | 9,5 | 10,3 | 10,1 | 9,1 | 9,8 | 10,8 | 7,6 | 0 | 0,5 | 1 | |
| Niederschlag (Liter) | 0 | 0 | 0 | 0 | 0 | 0 | 0 | 6,8 / 13 | 0 | 0 | |
| Bodenwetterlage 00 UTC (Kernlage des Druckgebiets, das SW-D beeinflusst) | H ü S-D | kl fl T-Zelle ü F, H ü S-Osee | fl, schm T-Zone zw Azor-H u H ü Osee | Azor-H | H ü Bisk | H ü W-D | H ü O-Alpen, T ü Nnn | Azor-H, T ü Nsee | Azor-H, T bei Isl | H ü Biskaya | |
| Bodenströmung 12 UTC zyklonal (z), antizyklonal (a) | fl z | a-z | fl z | a | fl a | fl a | a-z | Azor-H, T ü Nsee | fl a | fl a | |
| Strömung auf 500 hpa 00 UTC | NW a | N a | N a-z | N a | NNO a | NW a | W a | NW a-z | NW a-z | WNW fl a | |
| zutreffende Wettersymbole | 2 hr | 2 hr | 2 hr | 2 r | 2 r | 2 r | 2-3 r | 5 hr | 5 f | 5 f | |

| | | | | | | | | | |
|--|---|---|--|--|--|---|--|---|---|
| 01:36 | 08:24 | 00:39 | 02:53 | 01:09 | 02:23 | 06:55 | 01:21 | 02:48 | 03:02 |
| MER 0 CHI FIS 24*27*34* FIS 24*27*33* A | MER 90 GAZ FIS 26*58*51* SCH 26*58*53* T-1 | VEN 30 CER STI 11*35*21* H +2 | CER 135 GAZ STI 11*58*53* SCH 26*58*54* A* | MER 180 GSZ WID 02*18*12* WAA 02*18*12* A | MER 30 MAR WID 04*22*30* STI 04*22*29* A | URA 0 ERI WID 22*54*07* WID 22*54*07* A?*(2/1) | MER 144 KN1 WID 08*12*01* JUN 02*12*03* A | MER 45 SED WID 10*14*41* STI 25*14*40* T-1 | MER 90 JUN WID 12*09*53* STE 12*09*52* T-1 |
| 10:32 | 12:11 | 02:05 | 05:37 | 01:49 | 02:52 | 09:39 | 12:28 | 07:02 | 05:53 |
| MER 60 SED FIS 25*11*22* STI 25*11*21* A | MER 90 SAT FIS 27*17*29* SCH 27*17*30* H --- | SON 30 URA FIS 22*41*01* WID 22*41*00* T-3 | MER 90 QUA WID 00*41*51* STE 00*41*49* A | MER 150 KN1 WID 02*21*32* JUN 02*21*31* A | GSZ 30 KN1 WAA 02*18*12* JUN 02*18*12* H*(11/3) +13 | SON 90 GAZ FIS 26*58*55* SCH 26*58*55* H +3 | MER 0 VEN WID 09*05*47* WID 09*05*46* A W | SON 45 CER FIS 28*51*46* STI 13*51*45* A | MER 30 NEP WID 12*23*19* FIS 12*23*17* A K |
| 13:51 | 21:50 | 02:33 | 06:20 | 02:32 | 07:11 | 20:05 | 20:16 | 09:36 | 07:58 |
| VEN 30 NEP WID 12*03*59* FIS 12*03*58* A | SON 72 JUN FIS 22*30*25* STE 10*30*26* A | MER 120 VAR FIS 28*28*17* KRE 28*28*17* T-1 | MAR 150 FY9 WAA 03*02*22* H +4 / 0 | SON 0 PAL FIS 24*41*44* FIS 24*41*44* A | VEN 45 SED WID 10*13*23* STI 25*13*23* A | MER 150 ORC WID 07*46*27* JUN 07*46*25* A | SON 120 VAR FIS 28*25*00* KRE 28*24*60* A | JUP 90 VES WAA 20*38*48* KRE 20*38*49* A* | VEN 144 KN1 WAA 08*04*49* JUN 02*04*49* A |
| 14:17 | | 02:48 | 09:59 | 02:42 | 14:53 | 21:49 | | 22:35 | 18:29 |
| JUN 135 SED STE 10*11*25* STI 25*11*25* A* | | ERI 135 ORC WID 25*51*41* JUN 07*51*41* A* | MER 72 PLU WID 01*03*24* STE 19*03*26* A | SON 0 CHI FIS 24*42*09* FIS 24*42*10* A K? | PAL 60 SED FIS 25*13*31* STI 25*13*31* H* +5 | SON 90 SAT FIS 27*29*11* SCH 27*29*11* A W? | | CER 72 KN2 STI 14*06*04* FIS 02*06*03* H* +5 | MAR 120 ORC STI 07*43*15* JUN 07*43*14* A |
| 20:02 | | 05:14 | 10:11 | 03:06 | | | | | 20:23 |
| SON 150 JUP FIS 21*26*05* WAA 21*26*05* A K | | MAR 150 GSZ STI 02*18*12* WAA 02*18*12* A | VES 72 GSZ KRE 20*18*12* WAA 02*18*12* H* +5 | CHI 0 PAL FIS 24*42*13* FIS 24*42*13* A* W* | | | | | VEN 30 MAR WID 07*46*39* STI 07*46*38* H +2 |
| 22:58 | | 06:24 | 10:35 | 06:32 | | | | | 22:50 |
| MER 45 CER FIS 26*12*26* STI 11*12*25* A | | SON 30 ERI FIS 22*51*47* WID 22*51*46* A | MAR 150 APO STI 03*10*60* SCH 03*10*60* A | SAT 135 CER SCH 27*23*49* STI 12*23*49* A* | | | | | VEN 150 ORC WID 07*43*02* JUN 07*43*02* H +4 |
| | | 10:00 | 15:37 | 10:02 | | | | | 22:56 |
| | | MAR 120 KN1 STI 02*26*47* JUN 02*26*47* T 0 / -4 | SON 150 EL6 FIS 24*14*33* WAA 24*14*32* T-3 | MER 180 FY9 WID 03*02*02* WAA 03*02*04* H +2 | | | | | MER 144 ORC WID 13*43*00* JUN 07*43*02* T-2 |
| | | 10:32 | 16:16 | 13:22 | | | | | |
| | | FY9 60 APO WAA 03*04*18* SCH 03*04*18* H* +11 | NEP 60 CER FIS 12*10*56* STI 12*10*56* T* W* -5 | MER 120 APO WID 03*18*27* SCH 03*18*27* T --- | | | | | |
| | | 20:18 | 17:04 | 14:57 | | | | | |
| | | PAL 150 EL6 FIS 24*15*19* WAA 24*15*19* H* --- | VEN 90 JUN WID 10*56*03* STE 10*56*03* A | URA 135 ORC WID 22*48*52* JUN 07*48*52* A*(6/6) | | | | | |
| | | | | 15:07 | | | | | |
| | | | | SON 60 SED FIS 25*13*04* STI 25*13*05* A | | | | | |

März 2017



Prognose für SW-Deutschland

Ab diesem Monat wird nach den Erfahrungen des Sommers 2014 Neptun 72° Quaoar als T*(0/2) mit -10 Punkten angerechnet. Den ganzen Monat sind die beiden hochrangigen Konjunktionen Uranus 0° Eris A?*(2/1) und Makeamake 0° GSZ (Superg. Zentrum) aktiviert. Dadurch wird im Index 3 den ganzen Monat Orcus 135° Eris ?* ausgelöst, ab dem 28. auch Haumea 180° Eris ?* - Am 4. wird die Konjunktion von Saturn mit dem Galaktischen Zentrum exakt! Nur drei Tage, an denen ein negativer Index erreicht wird - im alternativen Index 3 wurde die Dauerauslösung KN1 30 GSZ H13 herausgenommen, weil er mit dieser hohen Punktzahl, die sich aus der Rangordnung des GSZ ergibt, über so einen langen Wirkzeitraum zu hoch sein könnte.

| Langsamläufer-Impulse | H* | T* | 2H* | 2T* | | | H* | H* | T?*(0/2) | | |
|---|---|--|---|--|--|--|--|--|---|---|--|
| Schnellläufer-Impulse | H, Hf, T | T | Hf | 2H | H | 2H, T | H, 2Tf, T | H | 3T | T, H | H, Hf |
| Temperaturimpulse | | K | | W | W | W, K | W | W | | | |
| Premeteo-Index -zyklonal, + antizyklonal (Index 1+2+3) | 37 | 15 | 30 | 55 | 20 | 31 | -11 | 12 | 20 | 37 | 16 |
| Pre.IX (ALTERNATIV) | 24 | 2 | 29 | 28 | 7 | 18 | -24 | -1 | 7 | 24 | 3 |
| Index 1 (12 - 12 UTC) exakte Aspekte des Tages | 19 | 0 | -1 | 11 | -7 | 4 | -24 | 8 | -2 | 10 | -6 |
| Index 1 (ALTERNATIV) | | | 11 | | | | | | | | |
| Symmetrien (0 - 0 UTC) | Mer 8 Ven Eri (17) A W H +7? | Son 5 Ven Pal (12) A W A --- Ves 72 Mar Mak (14) A T A --- Mer 22 Mar Chi (21) H --- Jup 30p Ura Mer (22) H(135/1) A +7 | Son 180 Mak GSZ (01) Hf T ? Ves 71 Mar GSZ (19) A H A +7 Mer 36 Nep Sed (20) T*(0,5/2) 0l -14 | Mer 91 Plu Ves (15) A H A +7 | Mer 20p Jup Hau (17) A H +7 | Sed 145 Jup Qua (04) A H*(6,5/2) T ? GSZ 40p Son Pal (10) T A T -7? Nep 59 Mar Jun (10) T W H T ? Cer 135 Qua GSZ (11) T A ? --- Mer 0 Ura Eri (12) A H +7 | Mak 40p Son Pal (04) Hf A +7? Hau 10p Ura Mer (10) H? (51,5) H (7) Ura 179 Eri Mer (17) ? H ? Mer 22 Ven Cer (21) T -14 | Mer 30 Chi Sed (00) A T T(1/9) --- Ven 4 Son Pal (00) A W A --- Pal 4 Ven Chi (07) A A* W* --- | Ven 7 Son Chi (16) A W Tst --- | Mak 70p Son Chi (10) Hf H*(4/2) --- Jup 90p Son Mer (12) H W A +7? | Son 80p Jup GSZ (07) H W T ? Son 80p Jup Mak (12) H W H +7? Eri 22 Mar Pal (19) H --- |
| Index 2 (12 -12 UTC) | 0 | 0 | 7 | 14 | 0 | 14 | 0 | -14 | 0 | 0 | 0 |
| Index 2 ALTERNATIV | | | 0 | | | | | | | | |
| ausgelöste Aspekte (= durch Konjunktionen aktivierte Aspekte) | Ves 72 GSZ H5 Kn1 30 GSZ H13 Orc 135 Eri ?* | Son 180 GSZ T-3 Ves 72 GSZ H5 Kn1 30 GSZ H13 (Kn2 150 GSZ H13) Orc 135 Eri ?* | Son 180 GSZ T-3 Ves 72 GSZ H5 Kn1 30 GSZ H13 (Kn2 150 GSZ H13) Orc 135 Eri ?* | Ves 72 GSZ H5 Kn1 30 GSZ H13 (Kn2 150 GSZ H13) Orc 135 Eri ?* | Ves 72 GSZ H5 Kn1 30 GSZ H13 (Kn2 150 GSZ H13) Orc 135 Eri ?* | Mar 135 GaZ T-4 Ura 180 Hau H9 Kn1 30 GSZ H13 (Kn2 150 GSZ H13) Ura 135 Orc A*(6/6) Orc 135 Eri ?* | Mar 135 GaZ T-4 Ura 180 Hau H9 Kn1 30 GSZ H13 (Kn2 150 GSZ H13) Ura 135 Orc A*(6/6) Orc 135 Eri ?* | Mar 135 GaZ T-4 Kn1 30 GSZ H13 (Kn2 150 GSZ H13) Orc 135 Eri ?* | Kn1 30 GSZ H13 (Kn2 150 GSZ H13) Orc 135 Eri ?* | Kn1 30 GSZ H13 (Kn2 150 GSZ H13) Orc 135 Eri ?* | Ves 90 Eri T-5 Kn1 30 GSZ H13 (Kn2 150 GSZ H13) Hau 180 Hau +9 Cer 135 Mak H* +5 |
| Index 3 (Summe) | 18 | 15 | 24 | 30 | 27 | 13 | 13 | 18 | 22 | 27 | 22 |
| Index 3 ALTERNATIV | 5 | 2 | 11 | 17 | 14 | 0 | 0 | 5 | 9 | 14 | 9 |
| Symbol-Prognose | 2 | 2 | 2 | 2 | 2 | 2 | 2 | 2 | 2 | 2 | 2 |
| Symbol-Prognose altern. | 2 | 2 | 2 | 2 | 2 | 2 | 2 | 2 | 2 | 2 | 2 |
| Wochentag | Di | Mi | Do | Fr | Sa | So | Mo | Di | Mi | Do | Fr |
| Datum | 21 | 22 | 23 | 24 | 25 | 26 | 27 | 28 | 29 | 30 | 31 |
| reale Wetterlage | T4: H*, Hf, H-T+37 | H5: T*, T / +15 | T5: 2H*, Hf / +30 | H6: H*, Hf, 8H - 3T*, 2Tf, 6T / +164 | | | | | | | T6: Hf, H / +16 |
| Luftdruck (hpa) 06 UTC | 1012,2 | 1015 | 1014,1 | 1022 | 1025 | 1022,1 | 1022,6 | 1024,4 | 1028,3 | 1028,3 | 1019,8 |
| mittl. Temp.(°C) | 9,8 | 6,5 | 10,5 | 8,9 | 10,3 | 9,3 | 11,2 | 13,4 | 13,7 | 13,6 | 15,3 |
| Sonnenscheindauer (h) | 0,4 | 0,2 | 10,7 | 0,2 | 11,1 | 11,5 | 11,7 | 9,6 | 11,2 | 11,4 | 10,3 |
| Niederschlag (Liter) | 13,4 / 11 | 0,1 / 4 | 0 | 0 | 0 | 0 | 0 | 0 | 0 | 0 | 0 |
| Bodenwetterlage 00 UTC (Kernlage des Druckgebets, das SW-D beeinflusst) | T ü Nm, Keil Azorr-H | H ü D | T ü Bisk u W-F, H ü Polen | T ü Bisk u W-iber, H ü GB | H ü GB, T ü Portu u W-Mm | H ü GB, H S.F., okkl T ü Bisk | Hoch mit Kernen ü Nsee u Osterr | H ü Balk, H ü Iber | H mit Kernen ü Iber u S-F | H ü SO-D | T ü Irland, H ü Ung |
| Bodenströmung 12 UTC zyklonal (z), antizyklonal (a) | a-z | a | fl a | fl a | a-z | fl a | fl a | fl a | a | a | z |
| Strömung auf 500 hpa 00 UTC | SW fl a | SW fl z | SW fl a | S fl a | fl a | OSO fl a | O a | O a | W fl z | W a | SW a |
| zutreffende Wettersymbole | 5 f | 5 f | 2 r | 5 f | 2 r | 2 r | 2 hr | 2 r | 2 r | 2 r | 2 r |

| 04:15 | 03:07 | 08:12 | 00:46 | 06:26 | 00:23 | 00:58 | 01:06 | 01:19 | 05:59 | 03:04 |
|---|---|---|--|---|---|--|---|---|---|---|
| SON 90 QUA WID 00'44'06" STE 00'44'05" H +3 | VES 72 FY9 KRE 20'54'25" WAA 02'54'25" T* --- | SON 180 FY9 WID 02'53'01" WAA 02'53'02" Hf 0' +6 | MER 90 PLU WID 19'12'37" STE 19'12'36" A | MER 90 VES WID 21'15'60" KRE 21'15'59" H +1 | CER 72 VAR STI 16'21'51" KRE 28'21'51" A* | MER 180 EL6 WID 24'01'29" WAA 24'01'29" H --- | MER 30 CHI WID 25'28'39" FIS 25'28'40" A | MAR 72 KN2 STI 13'37'06" WID 26'28'32" KRE 28'20'31" H K +2 | MER 90 VAR WID 19'20'35" STE 19'17'54" A | VEN 150 KN1 WID 01'30'31" JUN 01'30'31" H K +2 |
| NEP 60 JUN FIS 12'25'41" STE 12'25'41" H* +5 | SON 150 KN1 WID 01'58'11" JUN 01'58'11" A K | SAT 90 PAL SCH 27'38'21" FIS 27'38'21" H* +5 | MER 135 APO WID 19'15'19" SCH 04'15'17" H +1 | SON 0 VEN WID 04'57'13" WAA 04'57'13" A W | MER 135 ORC WID 22'37'36" JUN 07'37'37" A | MAR 60 NEP STI 12'39'22" FIS 12'39'22" Tf W -10 1 | SON 150 ORC WID 07'35'38" JUN 07'35'37" H +3 | MER 120 GaZ WID 26'59'01" SCH 26'58'60" A* | JUP 144 SED WAA 19'20'35" STE 19'17'54" A | VEN 72 PLU WID 01'17'54" STE 19'17'54" A |
| MER 30 CER WID 14'39'56" STI 14'39'57" Hf +7 | MAR 144 FY9 STI 08'54'06" WAA 02'54'05" A | PLU 45 APO STE 19'12'15" SCH 04'12'15" H* +11 | MAR 45 CHI STI 10'15'22" FIS 25'15'23" H +4 | PAL 120 VAR FIS 28'22'01" KRE 28'22'01" A* | VEN 120 APO WID 04'29'23" SCH 04'29'23" H W +2 | JUP 45 APO WAA 19'39'57" SCH 04'39'57" H* +6 | SON 144 KN1 WID 07'39'55" JUN 01'39'55" A W | VEN 45 CER WID 02'35'27" STI 17'35'27" T -2 | NEP 72 QUA FIS 12'45'19" STE 00'45'19" T*(0/2) -10 | MAR 45 PAL STI 15'34'01" WID 00'34'01" Hf 0' +10 |
| MAR 144 GSZ STI 08'18'13" WAA 02'18'13" A | MAR 72 VES STI 08'56'39" KRE 20'56'39" A | CER 135 QUA STI 15'44'45" STE 13'20'15" T* -5 | CHI 72 JUN FIS 25'20'15" STE 13'20'15" A* | MER 0 ERI WID 22'58'38" STE 22'59'40" H +2 | MAR 135 SAT STI 12'43'17" SCH 27'43'17" Tf -10 1 | CER 135 GSZ STI 17'18'13" WAA 02'18'13" A* | CER 135 FY9 STI 17'45'44" WAA 02'45'45" H* +11 | JUP 90 PLU WID 29'00'28" STE 19'17'27" A* | MAR 120 SAT WID 27'44'56" SCH 27'44'56" A | MAR 120 JUN STI 14'08'26" STE 14'08'26" T --- |
| SON 72 PLU WID 01'10'32" STE 19'10'33" T --- | MER 135 KN1 WID 16'57'12" JUN 01'57'11" A | MER 180 JUP WID 20'03'19" WAA 20'03'18" A | MAR 120 APO WID 04'20'18" SCH 04'20'18" A W | MAR 135 GAZ STI 11'58'58" SCH 26'58'59" T -4 | MER 30 SED WID 25'19'13" STI 25'19'13" T -1 | VEN 180 FY9 WID 02'46'37" WAA 02'46'37" A | VEN 180 GSZ WAA 02'18'13" SCH 05'00'29" T -1 | MER 45 NEP WID 27'43'42" FIS 12'43'40" T -1 | SON 45 SED WID 10'20'53" STE 25'20'54" H +3 | MER 120 SAT WID 27'44'56" SCH 27'44'56" A |
| PAL 90 GaZ FIS 26'58'57" SCH 26'58'57" A* | SON 180 GSZ WID 02'18'12" WAA 02'18'13" T -6/0 | SON 120 APO WID 04'20'18" SCH 04'20'18" A W | CHI 60 SED FIS 25'17'36" STI 25'17'36" T*(1/9) -8 | MAR 120 SAT WID 27'44'56" SCH 27'44'56" A | MAR 120 JUN STI 14'08'26" STE 14'08'26" T --- | MAR 120 JUN STI 14'08'26" STE 14'08'26" T --- | MAR 120 JUN STI 14'08'26" STE 14'08'26" T --- | MAR 120 JUN STI 14'08'26" STE 14'08'26" T --- | MAR 120 JUN STI 14'08'26" STE 14'08'26" T --- | MAR 120 JUN STI 14'08'26" STE 14'08'26" T --- |

03.04.2017

März 2017



Prognose für SW-Deutschland

Im Index 3 korrigierte Prognose
(Originalprognose vom 26.11.2014)

01.03.2017

Ab diesem Monat wird nach den Erfahrungen des Sommers 2014 Neptun 72° Quaoar als T'(0/2) mit -10 Punkten angerechnet. Den ganzen Monat sind die beiden hochrangigen Konjunktionen Uranus 0° Eris A?/(2/1) und Makenake 0° GSZ (Superg. Zentrum) aktiviert. Dadurch wird im Index 3 den ganzen Monat Orcus 135° Eris ? ? ausgelöst, ab dem 28. auch Haumea 180° Eris ? ? - Am 4. wird die Konjunktion von Saturn mit dem Galaktischen Zentrum exakt! Nur drei Tage, an denen ein negativer Index erreicht wird! - Im alternativen Index 3 wurde die Dauerauslösung KN1 30 GSZ H13 herausgenommen, weil er mit dieser hohen Punktzahl, die sich aus der Rangordnung des GSZ ergibt, über so einen langen Wirkzeitraum zu hoch sein könnte.

| Langsamläufer-Impulse | 2H* | H*, T* | H* | H* | H* | T* | T* | T* | H | |
|--|---|--|--|--|---|--|--|---|--|---|
| Schnellläufer-Impulse | T | 2H, T | 2T, Tf, H | H | 2T, 2Hf | 2T | H, T | 2T | H | |
| Temperaturimpulse | W | K | W | K | W | W | W? | | | |
| Premeteo-Index -zyklonal, + antizyklonal (Index 1+2+3) | 12 | 4 | -35 | -7 | -15 | 12 | -4 | -8 | -20 | 1 |
| Pre.JX (ALTERNATIV) | | | | | 7 | | | | | |
| Index 1 (12 - 12 UTC) exakte Aspekte des Tages | 5 | 7 | -15 | 3 | -5 | 15 | -1 | -5 | -15 | 1 |
| Index 1 (ALTERNATIV) | | | | | 17 | | | | | |
| Symmetrien (0 - 0 UTC) | Eri 1 Mer Ura (00) A* A?/(2/1) Ausl. Index 3 Orc 20p Son Mer (02) H A +? Son 74 Sed Gaz (11) ? -? -? | Mer 60 Jun Cer (08) A A H? +? Mar 31 Chi Sed (12) A T ? -? Cer 120 Jun Orc (19) H* A* T? -? | Ves 72 GSZ Cer (00) H* A* A* +? Orc 120 Jun Cer (01) T* A* H? -? Son 72 Qua Sed (07) T A H?/(6,5/2) -? Jun 120 Orc Cer (13) T* H* A* -?/? Nep 2 Son Mer (16) H W H W Auslösung Index 3 | Mer 74 Sed Gaz (02) ? -? Hau 20p Mar En (12) A ? ? ? | Mer 72 Qua Sed (01) A A H?/(6,5/2) -? Hau 20p Mer Ura (04) A H?/(6,5/2) -? Mer 2 Son Nep (07) H H W (+14) | Son 5 Nep Pal (08) H W A -? | Jun 75 Chi Hau (01) T'/(5/10,5) -? Son 6 Nep Chi (13) H W A K? -? | Mer 2 Son Pal (03) H A Auslösung Index 3 | Pal 2 Chi Mer (07) A W? A -? Mer 2 Son Chi (18) H A -? | Hau 149 Sed Mer (13) ? A ? Ven 90p Jup Mak (15) H A +? Mer 1 Chi Pal (18) A A -? Mak 90p Ven Mer (19) A H +?? |
| Index 2 (12 -12 UTC) | 7 | 7 | -7 | 0 | 0 | 0 | 0 | 0 | 0 | 0 |
| Index 2 ALTERNATIV | | | | | | | | | | |
| ausgelöste Aspekte (= durch Konjunktionen aktivierte Aspekte) | Ausl. durch Index 2: Jup 180 Ura H* +6 Ves 72 GSZ H5 Knl 30 GSZ H13 (Knl 150 GSZ H13) Orc 135 Eri ? | Ves 72 GSZ H5 Knl 30 GSZ H13 (Knl 150 GSZ H13) Nep 72 Qua T?/(0/2) -10 Orc 135 Eri ? Jup 180 Ura H* +6 | Ausl. durch Index 2: Son 72 Qua T -3 Mer 72 GaZ T-1 Ves 72 GSZ H5 Knl 30 GSZ H13 (Knl 150 GSZ H13) Nep 72 Qua T?/(0/2) -10 Orc 135 Eri ? Jup 180 Ura H* +6 | Ves 72 GSZ H5 Knl 30 GSZ H13 (Knl 150 GSZ H13) Nep 72 Qua T?/(0/2) -10 Orc 135 Eri ? Jup 180 Ura H* +6 | Mar 120 GaZ T-4 Ves 72 GSZ H5 Knl 30 GSZ H13 (Knl 150 GSZ H13) Nep 72 Qua T?/(0/2) -10 Orc 135 Eri ? Jup 180 Ura H* +6 | Son 144 Jup T-3 Mer 120 GaZ T-4 Ves 72 GSZ H5 Knl 30 GSZ H13 (Knl 150 GSZ H13) Orc 135 Eri ? Jup 180 Ura H* +6 | Son 144 Jup T-3 Mer 120 GaZ T-4 Ves 72 GSZ H5 Knl 30 GSZ H13 (Knl 150 GSZ H13) Orc 135 Eri ? Jup 180 Ura H* +6 | Son 144 Hau T-3 Ves 72 GSZ H5 Knl 30 GSZ H13 (Knl 150 GSZ H13) Orc 135 Eri ? Jup 180 Ura H* +6 | Ausl. durch Index 2: Mer 60 Plu T-1 Son 144 Sed T-4 Mer 30 Eri H5 Ves 72 GSZ H5 Knl 30 GSZ H13 (Knl 150 GSZ H13) Orc 135 Eri ? Jup 180 Ura H* +6 | Mer 30 Eri H5 Ves 72 GSZ H5 Knl 30 GSZ H13 (Knl 150 GSZ H13) Orc 135 Eri ? Jup 180 Ura H* +6 |
| Index 3 (Summe) | 0 | -10 | -13 | -10 | -10 | -3 | -3 | -3 | -5 | 0 |
| Index 3 ALTERNATIV | | | | | | | | | | |
| Symbol-Prognose | 2 | 3 | 5 | 3 | 5 | 3 | 3 | 3 | 5 | 3 |
| Symbol-Prognose altern. | 2 | 3 | 5 | 3 | 3 | 3 | 3 | 3 | 5 | 3 |
| Wochentag | Mi | Do | Fr | Sa | So | Mo | Di | Mi | Do | Fr |
| Datum | 1 | 2 | 3 | 4 | 5 | 6 | 7 | 8 | 9 | 10 |
| reale Wetterlage | H1: 2H*, 2H - 2T / +16 | T1: T*, Tt, 4T - 2H*, 2Hf, 2H / -57 | H2: H*, H - 3T / +8 | T2: T*, 4T / -28 | H3: H / +1 | | | | | |
| Luftdruck (hpa) 06 UTC | 1007,6 | 1013 | 1015 | 998,3 | 1006,9 | 1007 | 1014,4 | 1024,5 | 1021,5 | 1028,2 |
| mittl. Temp.(°C) | 7,1 | 8,6 | 6,2 | 5,9 | 7,6 | 6,8 | 6,1 | 6,1 | 10,6 | 7,8 |
| Sonnenscheindauer (h) | 0 | 8,9 | 2,4 | 1,9 | 3,3 | 1,3 | 0,3 | 2 | 0 | 10,4 |
| Niederschlag (Liter) | 4,5 / 1 | 0 | 0 | 1,5 | 1,8 / 4 | 1,8 / 1 | 4,5 / 4,5 | 4 / 6 | 13,9 / 18 | 0 / 1,5 |
| Bodenwetterlage 00 UTC (Kernlage des Druckgebiets, das SW-D beeinflusst) | fl Azor-H-Keil | T ü U u.S-Nm | H ü Alpen | T ü IrL, T ü O-Pyrenäen | T ü GB | fl H-Keil von F u CH | H w Iber | H mit Kernen w Iber u ü CH | T ü S-Nm, H ü Iber | H ü F |
| Bodenströmung 12 UTC zyklonal (z), antizyklonal (a) | fl a | fl a | fl z | z | z | fl a | fl a | fl z | fl z | a |
| Strömung auf 500 hpa 00 UTC | NW z | W a-z | W a-z | SW a | SW z | NW z | NW fl z | NW a | NW fl a | NW a-z |
| zutreffende Wetersymbole | 5 f | 2-3 r | 3-5 r | 3 r | 3-5 r | 5 hr | 5 hr | 5 hr | 5 r | 3 hr |

| Übertrag | 14:32 | 00:22 | 00:00 | 11:11 | 04:18 | 03:27 | 00:03 | 05:26 | 08:34 | 01:55 |
|-------------|--|--|--|--|--|--|--|---------------------------------------|---------------------------------------|--|
| Index 1: +5 | MAR 30 CHI | MER 135 JUP | SON 72 QUA | MER 0 NEP | MER 30 VEN | CHI 45 CER | JUP 150 PAL | MER 60 PLU | SON 60 PLU | MER 30 URA |
| Index 2: 0 | WID 23°53'36" FIS 23°53'36" A | MER 07°15'58" WAA 22°15'58" A | FIS 12°35'45" STE 00°35'45" T-3 | FIS 11°47'50" H W +2 | FIS 13°08'02" T K -10 | FIS 24°09'49" STI 09°09'49" HF +11 | WAA 21°52'25" FIS 21°52'25" A* | FIS 18°56'13" STE 18°56'13" T-1 | FIS 18°57'37" STE 18°57'37" T-3 | WID 22°31'51" A W? |
| | MER 45 URA | CER 120 JUN | JUP 180 URA | MAR 144 APO | MER 72 SED | CER 144 FY9 | SON 0 MER | URA 30 PAL | MER 150 JUP | MER 30 ERI |
| | FIS 07°08'17" WID 22°08'15" T -1 | STI 07°46'18" STE 07°46'18" H* - | WAA 22°11'22" WID 22°11'22" H*(13/5/1)+6 | WID 28°05'23" SCH 02°05'23" A | WID 26°05'23" STI 25°09'07" A | STI 09°12'14" WAA 03°12'14" A* | FIS 16°37'27" FIS 16°37'28" H - | WID 22°27'43" FIS 22°27'43" A* | WID 21°38'31" WAA 21°38'32" T-1 | FIS 22°50'06" WID 22°50'04" H +1 |
| | | SON 0 NEP | JUN 120 ORC | MER 72 QUA | MER 135 VAR | SON 144 JUP | MER 144 EL6 | SON 144 EL6 | AP0 90 KN1 | MER 0 PAL |
| | | FIS 11°42'29" FIS 11°42'28" H W +3 | STE 08°03'12" JUN 08°03'12" T-5 | FIS 12°36'57" STE 00°36'59" A | FIS 13°33'46" KRE 28°33'43" HF 0+7 | FIS 15°55'50" WAA 21°55'50" T W-3 | FIS 18°20'51" WAA 24°20'53" A | FIS 18°20'08" WAA 24°20'09" T-3 | SCH 02°38'50" JUN 02°38'49" A | FIS 23°01'54" FIS 23°01'56" A |
| | | PAL 120 VES | MER 135 EL6 | MAR 45 NEP | GSZ 60 APO | MAR 90 VAR | MER 120 VES | MER 120 VES | MER 72 JUN | SON 120 VES |
| | | FIS 20°13'23" KRE 20°13'22" H* +5 | FIS 09°24'56" WAA 24°24'57" A | WID 26°50'33" FIS 11°50'33" HF 0 / +10 | WAA 02°18'11" SCH 02°18'11" A* | WID 28°31'46" KRE 28°31'47" T-4 | FIS 20°07'40" FIS 21°42'58" STE 09°42'59" A | FIS 21°42'58" STE 09°42'59" A | MER 21°38'31" WAA 21°38'32" T-1 | FIS 22°50'06" KRE 20°09'27" A |
| | | MER 45 ERI | CER 72 VES | STI 08°11'04" KRE 20°11'05" A | | MER 144 JUP | CHI 150 EL6 | PAL 30 ERI | MAR 120 QUA | STI 00°40'21" STE 00°40'21" A |
| | | FIS 07°45'52" WID 22°45'51" A | STI 08°11'04" KRE 20°11'05" A | | | FIS 15°54'15" WAA 21°54'15" T-1 | FIS 24°19'57" WAA 24°19'57" T'(5/10,5)-8 | WID 22°49'48" WID 22°49'48" A | STI 00°40'21" STE 00°40'21" A | |
| | | MER 60 JUN | MAR 30 SED | | MAR 120 GaZ | | | | MER 150 EL6 | FIS 24°18'06" WAA 24°18'04" A |
| | | FIS 07°50'13" STE 07°50'11" A | WID 25°08'31" STI 25°08'32" T-10 | | WID 26°58'50" SCH 26°58'50" T-4/0 | | | | | |
| | | MER 60 CER | SON 30 VEN | | MAR 120 SAT | | | | | |
| | | FIS 07°51'31" STI 07°51'31" A | FIS 13°07'55" WID 13°07'56" T K-2 | | WID 26°59'24" SCH 26°59'24" A | | | | | |
| | | MAR 180 EL6 | SON 72 SED | | | | | | | |
| | | WID 24°25'38" WAA 24°25'39" A | FIS 13°08'35" STI 25°08'36" A | | | | | | | |
| | | MER 180 ORC | CER 144 GSZ | | | | | | | |
| | | FIS 08°04'03" JUN 08°04'01" A | STI 08°18'10" WAA 02°18'10" A | | | | | | | |
| | | MER 72 SAT | MAR 45 MAR | | | | | | | |
| | | FIS 08°49'57" SCH 26°49'56" H - | FIS 10°26'50" WID 25°26'51" H +1 | | | | | | | |
| | | CER 120 ORC | SON 135 VAR | | | | | | | |
| | | STI 08°03'28" JUN 08°03'28" A | FIS 13°34'50" KRE 28°34'51" A | | | | | | | |
| | | MER 72 GaZ | | | | | | | | |
| | | FIS 08°58'47" SCH 26°58'47" T-1 | | | | | | | | |

März 2017



Prognose für SW-Deutschland

In Index 3 korrigierte Prognose
(Originalprognose vom 26.11.2014)

Ab diesem Monat wird nach den Erfahrungen des Sommers 2014 Neptun 72° Quasar als T*(0/2) mit -10 Punkten angerechnet. Den ganzen Monat sind die beiden hochrangigen Konjunktionen Uranus 0° Eris A2*(2/1) und Makemake 0° GSZ (Superg. Zentrum) aktiviert. Dadurch wird im Index 3 den ganzen Monat Orcus 135° Eris 7° ausgelöst, ab dem 28. auch Haumea 180° Eris 7°. - Am 4. wird die Konjunktion von Saturn mit dem Galaktischen Zentrum exakt! Nur drei Tage, an denen ein negativer Index erreicht wird! - Im alternativen Index 3 wurde die Dauerauslösung KN1 30 GSZ H13 herausgenommen, weil er mit dieser hohen Punktzahl, die sich aus der Rangordnung des GSZ ergibt, über so einen langen Wirkzeitraum zu hoch sein könnte.

| | | | | | | | | | | |
|--|--|--|--|---|--|---|---|--|--|--|
| Langsamläufer-Impulse | | | ?, 2H* | H*, T* | | 2H* | | H* | | |
| Schnellläufer-Impulse | | T, H | H, 3T | H, T | H, T | | H | | T | 2T, 2H |
| Temperaturimpulse | | | | W* | K?, W* | | W? | W | | K |
| Premeteo-Index -zyklonal, + antizyklonal (Index 1+2+3) | -8 | -23 | -2 | 0 | 1 | 10 | 3 | -5 | -1 | 4 |
| Pre.IX (ALTERNATIV) | -16 | -31 | -14 | -12 | -7 | 2 | -5 | -13 | | |
| Index 1 (12 - 12 UTC) exakte Aspekte des Tages | 0 | -1 | 9 | 6 | -3 | 13 | 8 | 0 | -1 | 4 |
| Index 1 (ALTERNATIV) | | | 5 | 2 | | | | | | |
| Symmetrien (0 - 0 UTC) | Jup 9op Ven Mar (03) H A +77 Hau 149 Pal Sed (09) H* 7° H* +77 Pal 2 Son Mer (17) A A --- | Eri Top Jup Hau (00) A*(5/5) 7° ? Ven 10op Jup GSZ (07) H A +77 Ven 30 Nep Cer (13) A H T* W*-14 | Mak 8op Ven Chi (01) A ? --- Kni 30 GSZ H13 GSZ 9op Son Ven (16) T A -77 Hau 149 Son Sed (17) T ? A -7 | Ura 2op Jup Hau (01) H*(13/5/1) H*(5/1,5) +7 | Son 0 Chi Pal (03) A K? A --- Mer 180 Mak GSZ (06) H A +7 Mer 8 Ven Pal (06) A W A --- Mer 8 Ven Chi (06) A W A --- Mer 8 Son Ven (07) H A W +77 | Mak Top Son Ven (04) Hf A +77 | Nep 61 Jun Cer (02) H* T* W* H* ? GSZ 8op Ven Chi (05) A T*(1/5) --- GSZ 5op Son Mer (15) T A -77 | Mak 5op Son Mer (02) Hf H +77 Ven 14 Ura Chi (19) H* (8/3) --- GSZ 7op Chi Mer (20) T*(1/5) A --- Mak Top Pal Mer (22) A* H +77 | Mak 8op Chi Mer (12) H*(4/2) H --- Mer 9op Jup Mak (22) A H +77 | |
| Index 2 (12 - 12 UTC) | 0 | -14 | 0 | 0 | 7 | 0 | 0 | 0 | 0 | 0 |
| Index 2 ALTERNATIV | | | | | | | | | | |
| ausgelöste Aspekte (= durch Konjunktionen aktivierte Aspekte) | Ves 72 GSZ H5 Kni 30 GSZ H13 Chi 60 Sed T*(1/9) -8 Chi 150 Hau T*(5/10,5)-8 Orc 135 Eri 7° | Mer 90 GaZ T-1 Ves 72 GSZ H5 Kni 30 GSZ H13 Chi 60 Sed T*(1/9) -8 Chi 150 Hau T*(5/10,5)-8 Orc 135 Eri 7° | Ves 72 GSZ H5 Kni 30 GSZ H13 Chi 60 Sed T*(1/9) -8 Chi 150 Hau T*(5/10,5)-8 Orc 135 Eri 7° Son 30 Ura T-3 | Pal 60 Sed H5 Ves 72 GSZ H5 Kni 30 GSZ H13 Chi 60 Sed T*(1/9) -8 Chi 150 Hau T*(5/10,5)-8 Orc 135 Eri 7° Son 30 Ura T-3 | Pal 60 Sed H5 Ves 72 GSZ H5 Kni 30 GSZ H13 Chi 60 Sed T*(1/9) -8 Chi 150 Hau T*(5/10,5)-8 Orc 135 Eri 7° | Pal 60 Sed H5 Ves 72 GSZ H5 Kni 30 GSZ H13 Chi 60 Sed T*(1/9) -8 Chi 150 Hau T*(5/10,5)-8 Orc 135 Eri 7° | Son 90 GaZ H3 Kni 30 GSZ H13 Chi 60 Sed T*(1/9) -8 Chi 150 Hau T*(5/10,5)-8 Orc 135 Eri 7° | Son 90 GaZ H3 Kni 30 GSZ H13 Chi 60 Sed T*(1/9) -8 Chi 150 Hau T*(5/10,5)-8 Orc 135 Eri 7° | Ves 72 GSZ H5 Kni 30 GSZ H13 Chi 60 Sed T*(1/9) -8 Orc 135 Eri 7° | Ves 72 GSZ H5 Kni 30 GSZ H13 Chi 60 Sed T*(1/9) -8 Orc 135 Eri 7° |
| Index 3 (Summe) | -8 | -8 | -11 | -6 | -3 | -3 | -5 | -5 | 0 | 0 |
| Index 3 ALTERNATIV | -16 | -16 | -19 | -14 | -11 | -11 | -13 | -13 | | |
| Symbol-Prognose | 3 | 5 | 3 | 3 | 3 | 2 | 3 | 3 | 3 | 3 |
| Symbol-Prognose altern. | 5 | 5 | 5 | 5 | 5 | 2 | 3 | 5 | 3 | 3 |
| Wochentag | Sa | So | Mo | Di | Mi | Do | Fr | Sa | So | Mo |
| Datum | 11 | 12 | 13 | 14 | 15 | 16 | 17 | 18 | 19 | 20 |
| reale Wetterlage | T3: 2H*, 2H - 4T - 7° / -33 | | | H4: 4H*, 5H - T*, 5T / +12 | | | | | | |
| Luftdruck (hpa) 06 UTC | 1024,8 | 1016,1 | 1022,3 | 1033,5 | 1032,8 | 1027,8 | 1018,6 | 1014,6 | 1015,6 | 1015,2 |
| mittl. Temp.(°C) | 6,5 | 7,4 | 6,3 | 7,6 | 8,6 | 9,6 | 11,5 | 9,8 | 12,3 | 12,6 |
| Sonnenscheindauer (h) | 9,5 | 10,3 | 10,1 | 9,1 | 9,8 | 10,8 | 7,6 | 0 | 0,5 | 1 |
| Niederschlag (Liter) | 0 | 0 | 0 | 0 | 0 | 0 | 0 | 6,8 | 0 | 0 |
| Bodenwetterlage 00 UTC (Kernlage des Druckgebiets, das SW-D beeinflusst) | H ü S-D | kl fl T-Zelle ü F, H ü S-Osee | fl, schm T-Zone zw Azor-H ü H ü Osee | Azor-H | H ü Bisk | H ü W-D | H ü O-Alpen, T ü Nm | Azor-H, T ü Nsee | Azor-H, T bei Isl | H ü Biskaya |
| Bodenströmung 12 UTC zyklonal (z), antizyklonal (a) | fl z | a-z | fl z | a | fl a | fl a | a-z | Azor-H, T ü Nsee | fl a | fl a |
| Strömung auf 500 hpa 00 UTC | NW a | N a | N a-z | N a | NNO a | NW a | W a | NW a-z | NW a-z | WNW fl a |
| zutreffende Wettersymbole | 2 f | 2 f | 2 f | 2 hr | 2 hr | 2 r | 2-3 hr | 3 hr | 5 hr | 5 hr |

| | | | | | | | | | |
|--|--|---|---|--|--|--|--|--|--|
| 01:36 | 08:24 | 00:39 | 02:53 | 01:09 | 02:23 | 06:55 | 01:21 | 02:48 | 03:02 |
| MER 0 CHI FIS 24*2734* FIS 24*2733* A | MER 90 GAZ FIS 26*5851* SCH 26*5853* T-1 | VEN 30 CER WID 11*3522* STI 11*3521* H+2 | CER 135 GAZ STI 11*5853* SCH 26*5854* A* | MER 180 GSZ WID 02*1814* WAA 02*1812* A | MER 30 MAR WID 04*2230* STI 04*2229* A | URA 0 ERI WID 22*5407* WID 22*5407* A*(2/1) | MER 144 KN1 WID 08*1201* JUN 02*1203* A | MER 45 SED WID 10*1441* STI 25*1440* T-1 | MER 90 JUN WID 12*0953* STE 12*0952* T-1 |
| 10:32 | 12:11 | 02:05 | 05:37 | 01:49 | 02:52 | 09:39 | 12:28 | 07:02 | 05:53 |
| MER 60 SED FIS 25*1122* STI 25*1121* A | MER 90 SAT FIS 27*1729* SCH 27*1730* H--- | SON 30 URA WID 22*4100* T-3 | MER 90 QUA WID 00*4151* STE 00*4149* A | MER 150 KN1 WID 02*2132* JUN 02*2131* A | GSZ 30 KN1 WAA 02*1812* JUN 02*1812* H*(11/3) +13 | SON 90 GAZ WAA 02*1812* SCH 26*5855* H+3 | MER 0 VEN WID 09*0547* WID 09*0546* A W | SON 45 CER FIS 28*5146* STI 13*5145* A | MER 30 NEP WID 12*2319* STE 12*2317* A K |
| 13:51 | 21:50 | 02:33 | 06:20 | 02:32 | 07:11 | 20:05 | 20:16 | 09:36 | 07:58 |
| VEN 30 NEP WID 12*0359* FIS 12*0358* A | SON 72 JUN FIS 22*3025* STE 10*3026* A | MER 120 VAR FIS 28*2817* KRE 28*2817* T-1 | MAR 150 FY9 STI 03*0321* WAA 03*0322* H+4/0 | SON 0 PAL FIS 24*4144* FIS 24*4144* A | VEN 45 SED WID 10*1323* STI 25*1323* A | MER 150 ORC WID 07*4627* JUN 07*4625* A | SON 120 VAR FIS 28*2500* KRE 28*2460* A | JUP 90 VES WAA 20*3848* KRE 20*3849* A* | VEN 144 KN1 WID 08*0449* JUN 02*0449* A |
| 14:17 | | 02:48 | 09:53 | 02:42 | 14:53 | 21:49 | | 22:35 | 18:29 |
| JUN 135 SED WID 10*1125* STI 25*1125* A* | | ERI 135 ORC WID 22*5141* JUN 07*5141* 7° | MER 72 PLU WID 01*0324* STE 19*0326* A | SON 0 CHI FIS 24*4209* FIS 24*4210* A K? | PAL 60 SED FIS 25*1331* STI 25*1331* H*+5 | SON 90 SAT FIS 27*2911* SCH 27*2911* A W? | | CER 72 KN2 STI 14*0604* FIS 02*0603* H*+5 | MAR 120 ORC STI 07*4315* JUN 07*4314* A |
| 20:02 | | 05:14 | 10:11 | 03:06 | | | | | 20:23 |
| SON 150 JUP FIS 21*2605* WAA 21*2605* A K | | MAR 150 GSZ STI 02*1812* WAA 02*1812* A | VES 72 GSZ KRE 20*1812* WAA 02*1812* H*+5 | CHI 0 PAL FIS 24*4213* FIS 24*4213* A* W* | | | | | VEN 30 MAR WID 07*4639* STI 07*4638* H+2 |
| 22:58 | | 06:24 | 10:35 | 06:32 | | | | | 22:50 |
| MER 45 CER FIS 26*1226* STI 11*1225* A | | SON 30 ERI FIS 22*5147* WID 22*5146* A | MAR 150 APO STI 03*1060* SCH 03*1060* A | SAT 135 CER SCH 27*2349* STI 12*2349* A* | | | | | VEN 150 ORC WID 07*4302* JUN 07*4302* H+4 |
| | | 10:00 | 15:37 | 10:02 | | | | | 22:56 |
| | | MAR 120 KN1 STI 02*2647* JUN 02*2647* T 0/-4 | SON 150 EL6 FIS 24*1433* WAA 24*1432* T-3 | MER 180 FY9 WID 03*0202* WAA 03*0204* H+2 | | | | | MER 144 ORC WID 13*4300* JUN 07*4302* T-2 |
| | | 10:32 | 16:16 | 13:22 | | | | | |
| | | FY9 60 APO WAA 03*0418* SCH 03*0418* H*+11 | NEP 60 CER FIS 12*1056* STI 12*1056* T* W*-5 | MER 120 APO WID 03*1827* SCH 03*1827* T--- | | | | | |
| | | 20:18 | 17:04 | 14:57 | | | | | |
| | | PAL 150 EL6 FIS 24*1519* WAA 24*1519* H*--- | VEN 90 JUN WID 10*5603* STE 10*5603* A | URA 135 ORC WID 22*4852* JUN 07*4852* A*(6/6) | | | | | |
| | | | | 15:07 | | | | | |
| | | | | SON 60 SED FIS 25*1304* STI 25*1305* A | | | | | |

März 2017  **Prognose für SW-Deutschland**
Im Index 3 korrigierte Prognose
(Originalprognose vom 26.11.2014)

Ab diesem Monat wird nach den Erfahrungen des Sommers 2014 Neptun 72° Quaoar als T*(0/2) mit -10 Punkten angerechnet. Den ganzen Monat sind die beiden hochrangigen Konjunktionen Uranus 0° Eris A?*(2/1) und Makeamake 0° GSZ (Superg. Zentrum) aktiviert. Dadurch wird im Index 3 den ganzen Monat Orcus 135° Eris 7° ausgelöst, ab dem 28. auch Haumea 180° Eris 7°. - Am 4. wird die Konjunktion von Saturn mit dem Galaktischen Zentrum exakt! Nur drei Tage, an denen ein negativer Index erreicht wird - im alternativen Index 3 wurde die Dauerauslösung KN1 30 GSZ H13 herausgenommen, weil er mit dieser hohen Punktzahl, die sich aus der Rangordnung des GSZ ergibt, über so einen langen Wirkzeitraum zu hoch sein könnte.

| Langsamläufer-Impulse | H* | T* | 2H* | 2T* | | | H* | | H* | T?*(0/2) | |
|---|--|--|---|--|--|--|---|--|---|---|---|
| Schnellläufer-Impulse | H, Hf, T | T | Hf | 2H | H | 2H, T | H, 2Tf, T | H | 3T | T, H | H, Hf |
| Temperaturimpulse | | K | | W | W | W, K | W | W | | | |
| Premeteo-Index -zyklonal, + antizyklonal (Index 1+2+3) | 19 | -3 | 12 | 37 | 2 | 27 | -15 | 3 | 7 | 19 | 3 |
| Pre.IX (ALTERNATIV) | | | 24 | 23 | | | | | | | |
| Index 1 (12 - 12 UTC) exakte Aspekte des Tages | 19 | 0 | -1 | 11 | -7 | 4 | -24 | 8 | -2 | 10 | -6 |
| Index 1 (ALTERNATIV) | | | 11 | | | | | | | | |
| Symmetrien (0 - 0 UTC) | Mer 8 Ven Eri (17) A W H +7? | Son 5 Ven Pal (12) A W A --- Ven 72 Mar Mak (14) A T A --- Mer 22 Mar Chi (21) H --- Jup 30p Ura Mer (22) H(135/1) A +7 | Son 180 Mak GSZ (01) Hf T ? Ven 71 Mar GSZ (19) A H A +7 Mer 36 Nep Sed (20) T*(0,5/2) 0l -14 | Mer 91 Plu Ven (15) A H A +7 | Mer 20p Jup Hau (17) A H +7 | Sed 145 Jup Qua (04) A H*(6,5/2) T ? GSZ 40p Son Pal (10) T A -7? Nep 59 Mar Jun (10) T W H T ? Cer 135 Qua GSZ (11) T A ? --- Mer 0 Ura Eri (12) A H +7 | Mak 40p Son Pal (04) Hf A +7? Hau 10p Ura Mer (10) H*(51,5) H (7) Ura 179 Eri Mer (17) ? H ? Mer 22 Ven Cer (21) T -14 | Mer 30 Chi Sed (00) A T T(1/9) --- Ven 4 Son Pal (00) A W A --- Pal 4 Ven Chi (07) A A* W* --- | Ven 7 Son Chi (16) A W Tst --- | Mak 70p Son Chi (10) Hf H*(4/2) --- Jup 90p Son Mer (12) H W A +7? | Son 80p Jup GSZ (07) H W T ? Son 80p Jup Mak (12) H W H +7? Eri 22 Mar Pal (19) H --- |
| Index 2 (12 -12 UTC) | 0 | 0 | 7 | 14 | 0 | 14 | 0 | -14 | 0 | 0 | 0 |
| Index 2 ALTERNATIV | | | | 0 | | | | | | | |
| ausgelöste Aspekte (= durch Konjunktionen aktivierte Aspekte) | Ves 72 GSZ H5 Kni1 30 GSZ H13 Orc 135 Eri 7° | Son 180 GSZ T-3 Ves 72 GSZ H5 Kni1 30 GSZ H13 Kni2 150 GSZ H13 Orc 135 Eri 7° | Son 180 GSZ T-3 Ves 72 GSZ H5 Kni1 30 GSZ H13 Kni2 150 GSZ H13 Orc 135 Eri 7° Ura 180 Hau +9 | Ves 72 GSZ H5 Kni1 30 GSZ H13 Kni2 150 GSZ H13 Orc 135 Eri 7° Son 180 Mak H +3 Ura 180 Hau +9 | Ves 72 GSZ H5 Kni1 30 GSZ H13 Kni2 150 GSZ H13 Orc 135 Eri 7° Ura 180 Hau +9 | Mar 135 GaZ T-4 Ura 180 Hau H9 Kni1 30 GSZ H13 Kni2 150 GSZ H13 Ura 135 Ore A*(6/6) Orc 135 Eri 7° Ves 72 Mak T-5 | Mar 135 GaZ T-4 Ura 180 Hau H9 Kni1 30 GSZ H13 Kni2 150 GSZ H13 Ura 135 Ore A*(6/6) Orc 135 Eri 7° Ves 72 Mak T-5 | Mar 135 GaZ T-4 Kni1 30 GSZ H13 Kni2 150 GSZ H13 Orc 135 Eri 7° Ura 180 Hau +9 Ura 180 Hau +9 Cer 135 Mak H +5 Ves 72 Mak T-5 | Kni1 30 GSZ H13 Kni2 150 GSZ H13 Orc 135 Eri 7° Ura 180 Hau +9 Cer 135 Mak H +5 Ves 72 Mak T-5 | Kni1 30 GSZ H13 Kni2 150 GSZ H13 Orc 135 Eri 7° Ura 180 Hau +9 Cer 135 Mak H +5 Ves 72 Mak T-5 | Ves 90 Eri T-5 Kni1 30 GSZ H13 Kni2 150 GSZ H13 Orc 135 Eri 7° Ura 180 Hau +9 Cer 135 Mak H +5 |
| Index 3 (Summe) | 0 | -3 | 6 | 12 | 9 | 9 | 9 | 9 | 9 | 9 | 9 |
| Index 3 ALTERNATIV | | | | | | | | | | | |
| Symbol-Prognose | 2 | 3 | 2 | 2 | 3 | 2 | 3 | 3 | 3 | 2 | 3 |
| Symbol-Prognose altern. | 2 | 3 | 2 | 2 | 3 | 2 | 3 | 3 | 3 | 2 | 3 |
| Wochentag | Di | Mi | Do | Fr | Sa | So | Mo | Di | Mi | Do | Fr |
| Datum | 21 | 22 | 23 | 24 | 25 | 26 | 27 | 28 | 29 | 30 | 31 |
| reale Wetterlage | T4: H*, Hf, T+19 | H5: T*, T / -3 | T5: 2H*, Hf / +12 | H6: H*, Hf, 8H - 3T*, 2Tf, 6T / +80 | | | | | | | T6: Hf, Hf / +3 |
| Luftdruck (hpa) 06 UTC | 1012,2 | 1015 | 1014,1 | 1022 | 1025 | 1022,1 | 1022,6 | 1024,4 | 1028,3 | 1028,3 | 1019,8 |
| mittl. Temp.(°C) | 9,8 | 6,5 | 10,5 | 8,9 | 10,3 | 9,3 | 11,2 | 13,4 | 13,7 | 13,6 | 15,3 |
| Sonnenscheindauer (h) | 0,4 | 0,2 | 10,7 | 0,2 | 11,1 | 11,5 | 11,7 | 9,6 | 11,2 | 11,4 | 10,3 |
| Niederschlag (Liter) | 13,4 / 11 | 0,1 / 4 | 0 | 0 | 0 | 0 | 0 | 0 | 0 | 0 | 0 |
| Bodenwetterlage 00 UTC (Kernlage des Druckgebets, das SW-D beeinflusst) | T ü Nm, Keil Azorr-H | H ü D | T ü Bisk u W-F, H ü Polen | T ü Bisk u W-iber, H ü GB | H ü GB, T ü Portu u W-Mm | H ü GB, H S.F., okkl T ü Bisk | Hoch mit Kernen ü Nsee u Österr | H ü Balk, H ü Iber | H mit Kernen ü Iber u S-F | H ü SO-D | T ü Irland, H ü Ung |
| Bodenströmung 12 UTC (zyklonal (z), antizyklonal (a)) | a-z | a | fl a | fl a | a-z | fl a | fl a | fl a | a | a | z |
| Strömung auf 500 hpa 00 UTC | SW fl a | SW fl z | SW fl a | S fl a | fl a | OSO fl a | O a | O a | W fl z | W a | SW a |
| zutreffende Wettersymbole | 5 f | 5 f | 2 r | 5 f | 2 hr | 2 r | 2 hr | 2 hr | 2 hr | 2 r | 2 hr |

| 04:15 | 03:07 | 08:12 | 00:46 | 06:26 | 00:23 | 00:58 | 01:06 | 01:19 | 05:59 | 03:04 |
|---|---|---|--|---|---|--|--|---|--|---|
| SON 90 QUA WID 00'44'06" STE 00'44'05" H +3 | VES 72 FY9 KRE 20'54'25" WAA 02'54'25" T* --- | SON 180 FY9 WID 02'53'01" WAA 02'53'02" HF 0l +6 | MER 90 PLU WID 19'12'37" STE 19'12'36" A | MER 90 VES WID 21'15'60" KRE 21'15'59" H +1 | CER 72 VAR STI 16'21'51" KRE 28'21'51" A* | MER 180 EL6 WID 24'01'29" WAA 24'01'29" H --- | MER 30 CHI WID 25'28'39" WID 25'28'40" A | MAR 72 KN2 STI 13'37'06" WID 26'59'01" FIS 01'37'06" KRE 28'20'31" A | MER 90 VAR WID 28'20'31" KRE 28'20'31" H K +2 | VEN 150 KN1 WID 01'30'31" JUN 01'30'31" H K +2 |
| 08:06 | 10:06 | 11:56 | 01:24 | 10:18 | 02:57 | 16:46 | 02:17 | 03:51 | 08:22 | 12:10 |
| NEP 60 JUN FIS 12'25'41" STI 14'39'57" H* +5 | SON 150 KN1 WID 01'58'11" JUN 01'58'11" A K | SAT 90 PAL SCH 27'38'21" FIS 27'38'21" H* +5 | MER 135 APO WID 19'15'19" SCH 04'15'17" H +1 | SON 0 VEN WID 04'57'13" WID 04'57'13" A W | MER 135 ORC WID 22'37'36" JUN 07'37'37" A | MAR 60 NEP STI 12'39'22" FIS 12'39'22" Tf W -10 1 | SON 150 ORC WID 07'35'38" JUN 07'35'37" H +3 | MER 120 GaZ WID 26'59'01" SCH 26'58'60" A* | JUP 144 SED WAA 19'20'35" STI 25'20'35" A | VEN 72 PLU WID 01'17'54" STE 19'17'54" A |
| 11:16 | 10:10 | 14:30 | 07:46 | 13:34 | 04:01 | 17:57 | 04:01 | 06:10 | 12:49 | 19:22 |
| MER 30 CER WID 14'39'56" STI 14'39'57" HF +7 | MAR 144 FY9 STI 08'54'06" WAA 02'54'05" A | PLU 45 APO STE 19'12'15" FIS 25'12'15" H* +11 | MAR 45 CHI STI 10'15'22" FIS 25'15'23" H +4 | PAL 120 VAR FIS 28'22'01" KRE 28'22'01" A* | VEN 120 APO WID 04'29'23" SCH 04'29'23" H W +2 | JUP 45 APO WAA 19'39'57" SCH 04'39'57" H* +6 | SON 144 KN1 WID 07'39'55" JUN 01'39'55" A W | VEN 45 CER WID 02'35'27" STI 17'35'27" T -2 | NEP 72 QUA FIS 12'45'19" WAA 19'20'35" STE 00'45'19" T*(0/2) -10 | MAR 45 PAL STI 15'34'01" WID 00'34'01" HF 0l +10 |
| 14:04 | 11:36 | | 08:52 | 16:26 | 08:38 | 18:58 | 12:02 | 16:59 | 18:24 | |
| MAR 144 GSZ STI 08'18'13" WAA 02'18'13" A | MAR 72 VES STI 08'56'39" KRE 20'56'39" A | | CER 135 QUA STI 15'44'45" STE 13'20'15" T* -5 | CHI 72 JUN FIS 25'20'15" STE 13'20'15" A* | MER 0 ERI WID 22'58'38" WID 22'59'40" H +2 | MAR 135 SAT STI 12'43'17" SCH 27'43'17" Tf -10 1 | CER 135 GSZ STI 17'18'13" WAA 02'18'13" A* | CER 135 FY9 STI 17'45'44" WAA 02'45'45" H* +11 | JUP 90 PLU WAA 19'17'27" STE 19'17'27" A* | |
| 14:54 | 17:39 | | 12:47 | 15:07 | 22:25 | 22:25 | 22:42 | 17:49 | 19:41 | |
| SON 72 PLU WID 01'10'32" STE 19'10'33" T --- | MER 135 KN1 WID 16'57'12" JUN 01'57'11" A | | MER 180 JUP WID 20'03'19" WAA 20'03'18" A | MER 0 URA WID 23'24'27" WID 23'24'26" A K | MER 30 SED WID 25'19'13" STI 25'19'13" T -1 | VEN 180 FY9 WID 02'46'37" WAA 02'46'37" A | VEN 180 GSZ WAA 02'18'13" WAA 02'18'13" T -1 | MER 144 APO SCH 05'00'29" SCH 05'00'29" T -1 | | |
| 15:07 | 18:10 | | 19:24 | 18:01 | 15:07 | 22:25 | 17:54 | 21:08 | | |
| PAL 90 GaZ FIS 26'58'57" SCH 26'58'57" A* | SON 180 GSZ WID 02'18'12" WAA 02'18'13" T -6/0 | | SON 120 APO WID 04'20'18" SCH 04'20'18" A W | MAR 135 GaZ STI 11'58'58" SCH 26'58'59" T -4 | | | MER 45 NEP WID 27'43'42" FIS 12'43'40" T -1 | SON 45 SED WID 10'20'53" STI 25'20'54" H +3 | | |
| | | | 22:39 | | | | 18:18 | | | |
| | | | CHI 60 SED FIS 25'17'36" STI 25'17'36" T*(1/9) -8 | | | | | | | |
| | | | | | | | 19:00 | | | |
| | | | | | | | MAR 120 JUN STI 14'08'26" STE 14'08'26" T --- | | | |

März 2017: Fehlprognosen

| Datum | Vorzeichen Symbol | Analyse |
|-------|----------------------|---|
| 4. | +17 3 hr | Tief Xaver über Irland. Ein hoher positiver Anteil des Premeteo-Index stammte aus dem Index 3 und dies gibt einen Hinweis darauf, dass ein ähnliches Phänomen wie beim Januar 2017 vorliegt, dass fast-exakte Aspekte der Konjunktionsplaneten nur ausgelöst werden, wenn diese mit einem höher-rangigen Planeten gebildet werden. Daher wurde auch ein korrigiertes Auswertungs-Diagramm erstellt, das dieses Phänomen über den ganzen Monat hin berücksichtigt. Auf 500 hpa antizyklonal. |
| 5. | +27 3-5 f | Tief Xaver über Großbritannien. Der Premeteo-Index erweist sich auch hier als zu hoch aufgrund des Index 3, aber am 5. lag noch ein handwerklicher Fehler vor. Merkur 0° Neptun H löste Neptun 72° Quaoar T* aus, deshalb durften die Merkur-H-Aspekte in Index 1 und 2 nicht angerechnet werden, das war übersehen worden und wurde im korrigierten Auswertungsdiagramm auch dargestellt. |
| 8. | +16 5 f | Hoch Johanna mit Kernen westlich der Iberischen Halbinsel und über der Schweiz. Unsere Region lag noch im Isobarenbereich von Hoch Johanna, aber um 12 UTC bereits im Troggebiet von Tief Adriano über dem südlichen Nordmeer, in dem es auch am 9. verharnte. Dieses Tief brachte anhaltende und ausgiebige Niederschläge. Index 3 zu hoch. Auf 500 hpa antizyklonal. |
| 9. | +4 5 hr | Tief Adriano mit Kernen westlich Schottlands und über dem südlichen Nordmeer. (Analyse siehe 8.) Flacher Index, auf 500 hpa antizyklonal. |
| 11. | +2 2 hr | Hoch Johanna über Süddeutschland. In der Nacht zum 11. sanken die Temperaturen bis an die Frostgrenze und Hoch Johanna befand sich mit seinem Kern um 0 UTC über Süddeutschland. Um 12 UTC lag unsere Region in der Bodenatmosphäre jedoch schon flach in dem Trogbereich eines Tiefs südlich Islands, während sich auf 500 hpa ein Keil ausbildete. Flacher Index, auf 500 hpa antizyklonal. |
| 13. | +8 2 hr | Flache zyklonale Zone zwischen Azorenhoch Kathrin und Hoch Johanna über Ostsee. Flacher Index. |
| 21. | +37 5 f | Tief Falk-Dieter über dem Nordmeer. Es dehnte sich der Trog von Tief Falk-Dieter über dem Nordmeer über ganz Deutschland aus. Dies geschah in einer Gegenbewegung zum Premeteo-Index, der selbst im korrigierten Index mit +19 eine kräftige Spitze nach oben zeigte. Dieser Wert stammte allein aus dem Index 1. Es traten gegensätzliche Impulse auf wie Sonne 90° Quaoar H und Sonne 72° Pluto T, auch Merkur 144° Orcus T und Merkur 30° Ceres Hf. Vesta 72° Makemake H* wurde nicht berechnet, weil Vesta 72° GSZ H* noch im 1°-Toleranzbereich war. Auf 500 hpa hatte sich im Gegensatz zur Bodenströmung eine flache antizyklonale Strömung eingestellt. |
| 23. | +30 2 r | Tief Gregor über Biskaya und Westfrankreich. Mit einem Tag Verspätung gegenüber dem korrigierten Premeteo-Index des Vortags dehnte sich der Isobarenbereich von Tief Gregor über der Biskaya in der Nacht zum 23. noch einmal flach über unsere Region aus und es wurde die folgenden Tage als okkludiertes Tief über der Biskaya und dem Westen der Iberischen Halbinsel stationär. Auf 500 hpa antizyklonal. Symbolprognose war korrekt. |

| | | |
|-----|-------------|--|
| 27. | -11 2 hr | Hoch Ludwiga mit Kernen über Nordsee und Österreich. Der Premeteo-Index hatte sowohl im originalen, als auch im korrigierten Premeteo-Index einen einzelnen, negativen Tag. Der geglättete Index blieb in beiden Fällen über der Nulllinie. Bei Merkur wurden zwei Aspekte mit entgegen gesetzten Impulsen exakt: Merkur 180° Haumea H und Merkur 30° Sedna T. Der ranghöchste exakte Aspekt des Tages ist Jupiter 45° Apogäum H*. Die beiden starken Tf-Aspekte Mars 60° Neptun und Mars 135° Saturn machen sich nicht bemerkbar. |
| 31. | +16 2 r | Tief Johnny über Irland. Hoch Marrit über Ungarn. Nachwirkung von Neptun 72° Quaoar T?*, das am Vortag 13 UTC exakt wurde. Auf 500 hpa antizyklonal. Symbolprognose war korrekt. |

März 2017: Fehlprognosen (im Index 3 korrigierte Prognose)

| Datum | Vorzeichen Symbol | Analyse |
|-------|----------------------|---|
| 7. | -4 5 hr | Hoch Johanna westlich der Iberischen Halbinsel. Flacher Index. Auf 500 hpa zyklonal. |
| 18. | -5 2-3 hr | Azorenhoch und Tief Eckhart über Nordsee. Der Premeteo-Index zeigte eine Spitze nach unten und erreichte im korrigierten Index auch einen schwach negativen Wert. Es kam zu einem Wechsel unserer Region in den Isobarenbereich des Azorenhochs, wobei die Wolkenfelder und Regengebiete von Tief Eckhart über der Nordsee bei flach antizyklonaler Isobarenanordnung auch unsere Region überquerten. Flacher Index. |
| 19. | -1 5 hr | Azorenhoch und Tief Eckhart über Weißrussland. Flacher Index. Die Region verblieb unter einer überwiegend geschlossenen, grauen Wolkendecke im flachen Grenzbereich der zum Azorenhoch gekrümmten Isobaren. |
| 21. | +19 5 f | Tief Falk-Dieter über dem Nordmeer. Es dehnte sich der Trog von Tief Falk-Dieter über dem Nordmeer über ganz Deutschland aus. Dies geschah in einer Gegenbewegung zum Premeteo-Index, der selbst im korrigierten Index mit +19 eine kräftige Spitze nach oben zeigte. Dieser Wert stammte allein aus dem Index 1. Es traten gegensätzliche Impulse auf wie Sonne 90° Quaoar H und Sonne 72° Pluto T, auch Merkur 144° Orcus T und Merkur 30° Ceres Hf. Vesta 72° Makemake H* wurde nicht berechnet, weil Vesta 72° GSZ H* noch im 1°-Toleranzbereich war. Auf 500 hpa hatte sich im Gegensatz zur Bodenströmung eine flache antizyklonale Strömung eingestellt. |
| 22. | -3 2 hr | Hochdruckkeil über Deutschland. Tief Gregor über Großbritannien. Flacher Index. Auf 500 hpa zyklonal. |
| 23. | +12 2 r | Tief Gregor über Biskaya und Westfrankreich. Mit einem Tag Verspätung gegenüber dem korrigierten Premeteo-Index des Vortags dehnte sich der Isobarenbereich von Tief Gregor über der Biskaya in der Nacht zum 23. noch einmal flach über unsere Region aus und es wurde die folgenden Tage als okkludiertes Tief über der Biskaya und dem Westen der Iberischen Halbinsel stationär. Auf 500 hpa antizyklonal. Symbolprognose war korrekt. |
| 27. | -15 2 hr | Hoch Ludwiga mit Kernen über Nordsee und Österreich. Der Premeteo-Index hatte sowohl im originalen, als auch im korrigierten Premeteo-Index einen einzelnen, negativen Tag. Der geglättete Index blieb in beiden Fällen über der Nulllinie. Bei Merkur wurden zwei Aspekte mit entgegen gesetzten Impulsen exakt: Merkur 180° Haumea H und Merkur 30° Sedna T. Der ranghöchste exakte Aspekt des Tages ist Jupiter 45° Apogäum H*. Die beiden starken Tf-Aspekte Mars 60° Neptun und Mars 135° Saturn machen sich nicht bemerkbar. |
| 31. | +3 2 hr | Tief Johnny über Irland. Hoch Marrit über Ungarn. Nachwirkung von Neptun 72° Quaoar T?*, das am Vortag 13 UTC exakt wurde. Auf 500 hpa antizyklonal. Flacher Index. |